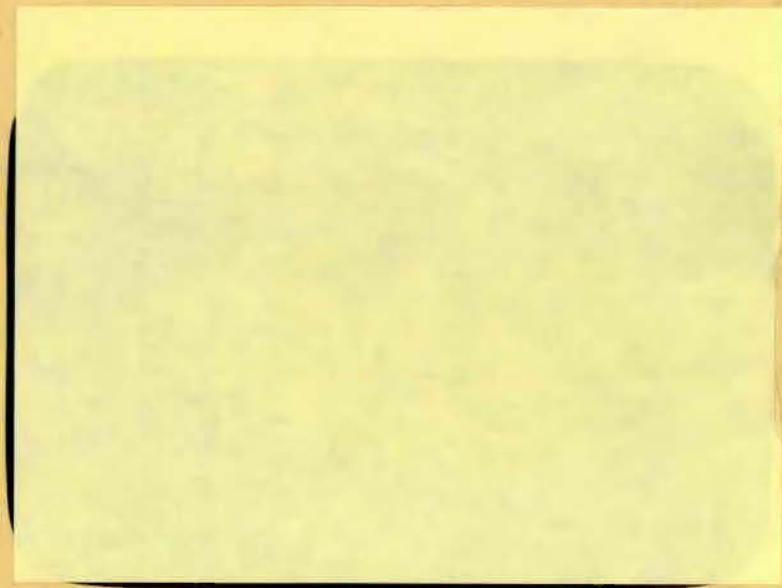


Tilhører Undergrundskartverket
MÅ IKKE FJERNES



K
L
S
G
Sö: G

OSLO KOMMUNE
GEOTEKNIK KONTOR



OSLO KOMMUNE
Geoteknisk kontor
KINGOS GT. 22, OSLO 4
Telf. 36 59 60

RAPPORT OVER:

SANDSTUVEIEN
BRO OVER EUROPAVEIEN

R-1768-2

24. aug. 1983.

2. del: Anleggsrapport med beskrivelse av grunnforholdene.

INNHOLDSFORTEGNELSE	SIDE
BILAGSFORTEGNELSE	1
INNLEDNING	2
MARKARBEID	2
LABORATORIEUNDERSØKELSER	2
GRUNNFORHOLD	3
Dybde til fjell	3
Løsmasser	3
Grunnvann	5
BERGARTER	5
STABILITET	5
FUNDAMENTERING	6
PELEARBEIDER	6
"Pølsetrekking"	7
SETNINGER	7
ANLEGGSSOPPFØLGING	7

BILAGSFORTEGNELSE

- Bilag 0: Standardbeskrivelse av bor- og laboratoriearbeider
" 1: Borprofil, skovlprøve, hull 1/ R-1395
" 2: " prøveserie, hull 5
" 3: Vingeboring, hull 5
" 4: " hull 10
" 5: Ødometerforsøk fra hull 5, dybde ca. 3,3 m
" 6: " " dybde ca. 6,3 m
" 10: Borprofil, prøveserie, hull 1, dybde 3-22 m
" 11: " " " 0-5 m
" 12: " " " 11
" 13: Borprofil, skovlprøve, hull 4 og 13
" 14: Vingeboring hull 1
" 15: " hull 4
" 16: " hull 13
" 17: Ødometerforsøk, hull 1, dybde ca 5,3 m
" 18: " " " " 7,4 m
" 19: " " " " 13,2 m
" 20: " " " " 17,1 m
" 21: Treaksialforsøk hull 1, dybde ca 6,5 m NOTEBY
" 22: " " " " 6,5 m "
" 23: " " " " 9,4 m "
" 24: " " " " 9,3 m "
" 25: Ødometerforsøk hull 11, dybde ca 5,4 m
" 26: " " " " 6,1 m
" 27: " " " " 9,2 m
" 28: Profil A-A
" 29: Profil B-B
" 30: Profil A-A med graveskråningenes helning
" 31: Situasjons- og boreplan.

INNLEDNING

Etter oppdrag fra Oslo veivesen, rekvisisjon nr. 68228 av 17.1.83, har geoteknisk kontor foretatt supplerende grunnundersøkelser for bro i Sandstuveien over Europaveien.

Foreliggende rapport omhandler både de tidligere undersøkelsene utført okt./nov. 1981, og de supplerende undersøkelsene. Rapporten beskriver grunnforholdene med hensyn på anleggsarbeidene som skal utføres, og erstatter rapport R-1768-1. En del bilag fra denne rapporten er således tatt med i foreliggende rapport.

Med grunnlag i de nå foreliggende geotekniske data, samt økonomiske kostnadsoverslag, er det besluttet at broen skal ha fire spenn og fundamenteres på spissbærende peler til fjell.

MARKARBEID

Markarbeidet både i 1981 og 1983 er utført med mannskap fra vårt kontor.

I 1981 ble det foretatt dreiesonderinger i 10 punkter, vingeboring i 2 punkter og tatt opp uforstyrrede prøver i 1 punkt.

Markarbeidet for de supplerende grunnundersøkelsene er utført i 3 perioder, 5.5.-26.5.83, 22.6-23.6.83, og 22.8.-25.8.83. En del av borpunktene er sammenfallende med tidligere borpunkter, og har da fått samme nummer.

De supplerende undersøkelsene omfatter 6 fjellkontrollboringer, 3 dreiesonderinger, 3 vingeboringer og opptak av 3 uforstyrrede prøveserier. I borpunkt 1 er det tatt opp to prøveserier, den ene på dybde 3-22 m og den andre i dybde 0-5 m. Årsaken til opptak av sistnevnte prøveserie, er at den først nevnte var tatt under vanskelige forhold og prøvene fra det øverste jordlaget ga et lite representativt bilde av jordarten.

Bilag 0 viser en generell beskrivelse av bormetodene.

LABORATORIEUNDERSØKELSER

De uforstyrrede prøvene er undersøkt ved vårt laboratorium. Foruten rutineundersøkelser er det også utført ødometerforsøk for måling av leirens sammentrykkbarhet. I tillegg ble 2 prøvesylindre sendt til NOTEBY hvor det foruten rutineundersøkelser ble utført 4 treaksialforsøk.

Generell beskrivelse av laboratorieundersøkelsene er gitt på bilag 0.

Ødometerforsøkene, se bilag 5-6, 17-20 og 25-27, viser at leiren er overkonsolidert ned til 12-15 meters dybde. Overkonsolideringsgraden (OCR), som er forholdet mellom effektiv forkonsolideringsspenning (p') og eksisterende vertikalspenning (p_0'), avtar med dybden fra ca 5 i 5 meters dybde til ca 1,6 i 10 meters dybde.

Treaksialforsøkene, bilag 21-24, ble utført på prøver fra hull 1, i ca. 6,4 og 9,4 meters dybde. Resultatene er tolket ved geoteknisk kontor: Leirens friksjonsvinkel er satt til $\phi=27^\circ$. Attraksjonen er satt til 15 kN/m² over kote 130, avtagende til 0 på kote 120.

GRUNNFORHOLD

Bilag 31 viser beliggenhet av regulert senterlinje for Sandstuveien og borpunkter med boredybder, terrengkoter og koter for antatt fjell.

Dybde til fjell

I borpunktene varierer dybden til antatt fjell mellom 4,8 og 27,4 m. For øylefundament 2 og 3 samt landkar 2 er det utført fjellkontrollboring, dvs. dybden til fjell er i disse punktene bestemt med større sikkerhet enn ved vanlig sondering.

Løsmasser

Resultater fra vingeboringer og laboratorieundersøkelsene er gjengitt på bilag 1-27.

Bilag 2 viser løsmassens sammensetning og egenskaper i hull 5. Her er det øverst ca 2 m tørrskorpeleire. Derunder er det leire så dypt som det er tatt prøver. Leiren er middels plastisk, og sensitiviteten øker med økende dybde. Skjærfastheten avtar ned til ca 5 meters dybde, og derunder er den forholdsvis konstant, med målte verdier stort sett mellom 22 og 30 kN/m² (2,2 og 3,0 t/m²) dvs. at leiren er bløt til middels fast.

Vingeboringene i hull 5 er gjengitt på bilag 3, og uforstyrret skjærstyrke er også lagt inn på bilag 2. Sammenlignet med prøveserien viser vingeboringen noe lavere skjærstyrke.

Vingeboringene fra hull 10 og 13, som er tatt henholdsvis ca 30 og 15 m vest for hull 5, viser at skjærstyrken her synker med økende dybde også under 5 m.

Prøveseriene fra hull 1 er vist på bilag 10 og 11. Bilag 10 viser den prøveserien som ble tatt først. Denne ble tatt i mai 83 under ugunstige værforhold og prøven fra 3-4 meters dybde er sannsynligvis blitt oppbløtt, og hadde vanninnhold på ca 45%. For å få klarhet i om det virkelig var et bløtt lag i dette nivået, ble det tatt en ny prøveserie i juni 83, bilag 11. Denne viser tørrskorpeleire til 4 meters dybde, og ingen antydning av noe bløtt lag.

Prøvene fra hull 1 viser ellers at leirenens sensitivitet øker med dybden.

Skjærstyrken avtar ned til 6 meters dybde, og er derunder forholdsvis konstant, med målte verdier stort sett mellom 10 og 20 kN/m², dvs. at leiren er bløt. Det må imidlertid presiseres at mange av prøvene fra dette hullet er blitt noe forstyrret og viser dermed for lav skjærasthet.

Vingeboringen som er foretatt i nærheten av prøveserien, bilag 14, viser mér jevne verdier av skjærfastheten i den bløteste delen av profilet. Uforstyrret skjærstyrke varierer her stort sett mellom 13 og 18 kN/m².

Prøveserien fra hull 11, bilag 12, ble tatt ned til 10 meters dybde. Også her er det tørrskorpeleire til 4 meters dybde, derunder har leiren omtrent samme skjærfasthetsparametre som leiren i hull 1.

Skoviprøven og vingeboringen fra hull 4, bilag 13 og 15, antyder at tørrskorpelaget er noe tynnere her enn i hull 1 og 11.

På bilag 28 og 29 har vi tegnet lengdeprofiler med bl.a. fjelloverflatens beliggenhet.

I hvert borpunkt er den registrerte dreiemotstanden tegnet i diagramform. Dreiemotstanden gir bare en indikasjon på massenes fasthet, i det ensartede masser kan vise stor variasjon i motstand, alt etter hva slags masser man borer gjennom i de øverste metrene. Formen på diagrammene har også betydning ved tolkning av resultatene.

På profilene har vi antydet overganger mellom de ulike typer løsmasser. Under leiren er det sannsynligvis endel friksjonsmasser, og mektigheten av disse later til å være størst der dybden til fjell er størst.

Vi antar forøvrig at det også under den viste overgangen mellom leire og friksjonsmasser kan være rene leirlag, og at det dessuten kan være blandingsmasser.

Som en sammenfatning er leiren i dybder større enn 5 m generelt bløtest øst for Europaveiens senterlinje.

Grunnvann

I mai -83 ble vannstanden målt i borpunkt 1, og var da ca 20 cm under terreng. Grunnvannstanden antas å ligge noe dypere enn dette.

BERGARTER

Bergartene er varierende stripete, båndete gneiser. De er gjennomsatt av en rekke amfibolittdrag, mørke og mer fin-kornete bergarter i den ellers lyse og middels til grovkornete gneisen. Gneisene er ganske sterkt foldet i store folder i området. Foliasjonsretningen (lagdelingen) i gneisen har retning mellom N170° og N190° og følger her retningen på Europaveien. Det er et par sprekkretninger som har strøkretning som følger foliasjonsretningen. Forsenkninger som følger denne retning kan ha sin årsak i at enkelte partier kan ha større sprekktetthet enn andre.

STABILITET

Den valgte løsning innebærer forholdsvis høye fyllinger bak landkarene. For å oppnå tilfredsstillende sikkerhet mot utglidning må det bak landkar 2 foretas masseutskifting og oppfylling med lette masser (romvekt ca 10 kN/m²). Bak landkar 1 er det tilstrekkelig å fylle opp over eksisterende terreng med lette masser.

Utgravingen for fundamentene må av stabilitetshensyn foregå i en bestemt rekkefølge. Videre må tilbakefyllingen og oppfylling bak landkarene foretas i bestemt rekkefølge og med bestemte masser. Nøyaktig gravebeskrivelse og beskrivelse for oppfylling fremgår av det øvrige anbudsmaterialet.

De laveste fundamentene ligger sannsynligvis under grunnvannsnivå slik at lensing av utgravningene må påregnes.

På bilag 30 har vi antydet graveskråningen for fundamentene med helning 1:1. I tilfelle mye nedbør kan det forventes erosjonsproblemer i skråningene og det kan bli nødvendig med sikring av disse, f.eks. med plastduk.

Avgraving til framtidig terrengnivå mellom landkarene og de respektive nærmeste søyler skal foretas før utgraving for fundamentene.

FUNDAMENTERING

Som tidligere nevnt er det bestemt at broen skal fundamenteres på peler til fjell, og at den skal ha 4 spenn, dvs. at alternativet "lang bro" er valgt.

Direkte fundamentering ville krevd svart store fundamenter, og disse ville beregningsmessig få setninger varierende mellom ca 3 og ca 10 cm.

P.g.a. noe usikkerhet i beregningsgrunnlaget kunne setningene ved landkar 2 muligens blitt endel større enn dette. Alternativet med 2 spenn ("kort bro") ville av stabilitetshensyn bare kunne gjennomføres hvis det ble benyttet "superlett" fylling bak landkarene. Lang bro ville krevd oppfylling med lette fylmasser.

Løsningen med direkte fundamentering er vraket p.g.a de store setningene og usikkerheten med setningene.

Ved pelefundamentering må det også benyttes lette fylmasser, men i mindre omfang enn ved evt. direkte fundamentering. Kort bro ville gitt endel større setninger av fyllingene enn det lang bro ventes å gi. Forøvrig ble kort bro beregnet å ville bli noe dypere enn lang bro. Dette skyldes vesentlig den omfattende bruk av lette fylmasser som ville vært nødvendig.

PELEARBEIDER

Før pelingen foretas kan det være nødvendig med forgravning gjennom den øverste del av tørrskorpeleiren, evt. gjennom fylmasser.

Forøvrig regner vi med at det kan være større steiner i friksjonsmassene over fjell, og at enkelte peler av den grunn kan stoppe uten å nå fjell. For ramming og innmeisling, både i fjell og evt. i løsmasser, skal instruksen fra vårt kontor benyttes.

Gneisbergartene som fjellet her består av, har i alminnelighet stor fasthet og vil ikke deformeres ved peling. Ved stor helning på fjelloverflaten vil en kunne risikere at pelene ikke får feste. Den "kritiske" helningsvinkelen er avhengig av overflatens ruhet. Gneisoverflaten kan være glatt, og steilere vinkler enn 35-40° vil kunne skape problemer.

"Pølsetrekking"

Ved pelerammingen antas poretrykket i grunnen å øke, og dette reduserer i så fall stabiliteten. Spesielt ved ramming av peler for søylefundament 3 og landkar 2 forventes at stabiliteten blir for lav ved vanlig peling. Det må derfor foretas "pølsetrekking" før pelene ved disse fundamentene rammes. Videre skal pelene for søylefundament 3 rammes før pelene for fundamentet til landkar 2.

"Pølsetrekking" innebærer at det tas opp en leirsylinder, og at pelet settes ned i hullet der leiren er trukket opp. Derved unngås massefortrengning og poretrykket øker i mindre grad enn ved vanlig peling.

Røret som benyttes ved "pølsetrekkingen" skal ha tilnærmet samme tverrsnitt som pelene. Dersom det viser seg at hullet siger igjen før pelet settes ned, må stabilisering med vann benyttes. Videre kan det vise seg at de øverste massene som kommer inn i røret, virker som en propp. "Pølsetrekkingen" vil da ikke virke etter sin hensikt, og det kan være nødvendig å grabbe/grave noe slik at man kommer under tørrskorpelaget. Pølsetrekkingen skal foretas til 8 m under u.k. fundament, hvis ikke annet angis under arbeidets gang.

SETNINGER

Bergningsmessig vil det bli en del setninger som følge av oppfyllingen bak landkarene. Basert på parametre fra ødometerforsøkene har vi beregnet at setningene vil bli omtrentlig 4 cm og 7 cm bak henholdsvis landkar 1 og 2.

Omtrent halvparten av setningene forventes unnagjort i løpet av 2-3 år etter oppfyllingen.

ANLEGGSSOPPFØLGING

Som tidligere nevnt vil normalt poretrykket i grunnen øke ved peleramming. Også oppfylling bak landkarene kan ha samme virkning. For å ha kontroll med poretrykksituasjonen bør det derfor nedsettes elektriske poretrykksmålere, slik at man eventuelt kan stoppe rammingen eller oppfyllingen midlertidig.

Skulle det imidlertid vise seg at poretrykket ikke stiger så mye som forventet, kan det bli aktuelt å redusere, eventuelt utelate "pølsetrekkingen".

Vi vil foreslå å sette ned 1 poretrykksmåler mellom landkar 1 og søylefundament 1, 2 poretrykksmåler mellom søylefundament 3 og landkar 2 og 1 måler bak landkar 2. De tre sistnevnte må settes ned etter at eksisterende fylling er gravd bort og etter at det er gravd ned til kt. 136,0.

Det er ønskelig at nedsettingen skjer i samarbeid med entreprenøren slik at vi kan få gravd en grøft for nødvendige ledninger. Derved vil målerne ikke stå i veien for anleggsarbeidene.

Geoteknisk kontor foretar gjerne anleggsoppfølgingen, spesielt med hensyn på poretrykkssituasjonen. Videre kan vi påta oss en del anleggskontroll, f.eks. pelekontroll.

Geoteknisk kontor



O. Tokheim

/H.S. Arntsen

/T. Føyne

STANDARDBESKRIVELSER

BESKRIVELSE AV BORMETODER

Innslagsondering betegner neddriving av stålstenger uten registrering av motstand, for eks. slagsendering med slegge eller slagbormaskin.

Dreiesboring utføres ved å måle synkninger under dreining når boret er lastet med 100 kg. Synkningen for mindre last dreies ikke. Boret er forsynt med en pyramideformet spiss som er oppridd under dreining. Lengden av spissen er 20 cm og sidekanten er 3 cm. Under optegning av resultatene angis antall omdreininger pr. m synkning på høyre side av hullet, og lasten på boret på venstre side.

Fjellkontrollboringer utføres med trykkluftdrevet bergbor. Både topphammer og senkborhammer kan brukes. Fjellkontrollen består i å registrere når man har fått en langsom og relativt jevn synkning av boret idet dette er en sterk indikasjon på at boret er i fjell. Det bores vanligvis 3 m for å konstatere at det ikke er en stor stein.

Vingeboring brukes til å måle jordartens skjerfasthet direkte i grunnen. Skjerfastheten beregnes ut fra målt torsjonsmoment på et vingekors som presses ned i ønsket dybde og dreies rundt inntil brudd oppstår. Grunnens fasthet bestemmes først i uforstyrret, og etter brudd i omrørt tilstand. Resultatene kan i stor grad påvirkes av sand, grus og stein ved vingekoret. Det skal også bemerkes at resultatene av andre grunner i mange tilfelle må korrigeres før fasthetsverdiene brukes i stabilitetsberegninger.

Prøvetaking kan utføres med forskjellig utstyr. Ønskes "uforstyrrede" prøver brukes en 4,54 mm sylinderprøvetaker som er forsynt med et tettsluttende stempel. Prøven skjæres ved at skylderen skyves nedover i grunnen mens stemplet holdes tilbake. Sylinderen med prøve blir trukket opp igjen, forseglet i begge ender, og bragt til laboratoriet. Ønskes bare såkalt "representativ" prøver, brukes enklere utstyr som kovelbor og kannebor. Felles for disse er at massen skaves inn i en beholder som deretter tas opp. Tilsvarende prøver kan også tas ved å skru en stålskrue ned i grunnen og trekke den opp igjen.

Poretrykksmåling går ut på å måle trykket i de vannfylte porene i jordarten. Dette gjøres ved å føre ned til ønsket dybde et såkalt piezometer som består av et stålører med et porøst filter i enden. Vann fra jordarten vil kunne trenge inn gjennom filteret mens jordpartiklene blir holdt tilbake. På innsiden av filteret kan man så enten ha en elektrisk trykkmåler som registrerer det vanntrykket som bygges opp og som balanserer med poretrykket utenfor, eller filteret er forbundet med en tynn-slang inne i stålørret. Stigehøyden av vannet i slangen er da pore-vanntrykket i filterets nivå. Ved fremstilling av resultatene angis som regel det nivå (m.o.h.) som vannet stiger til (poretrykksnivået).

BESKRIVELSE AV LABORATORIEUNDERØKELSER

I laboratoriet blir prøvene først beskrevet på grunnlag av besiktigelse. Derneat blir følgende undersøkelser rutinemessig utført, (undersøkelser merket *) kan bare utføres på uforstyrrede prøver):

Romvekt γ (t/m^3) av naturlig fuktig prøve.

Vanninnhold w (%) angir vekt av vann i prosent av vekt av fast stoff. Det blir utført flere bestemmelser av vanninnhold fordelt over prøvens lengde.

Flytegrensen w_L (%) og utrullingsgrensen w_p (%) angir henholdsvis høyeste og laveste vanninnhold for plastisk område av omrørt materiale. Plastisitetsindeksen I_p er differansen mellom flyte- og utrullingsgrensene. Disse konsistensgrensene er viktige ved bedømmelse av jordartens egenskaper. Konsistensgrensene blir vanligvis bestemt på annenhver prøve.

Følgende skala benyttes til å klassifisere leire etter plastisitet:

Lite plastisk leire	$I_p < 10$
Middels plastisk leire	$I_p = 10-20$
Meget plastisk leire	$I_p > 20$

Skjærfastheten s (t/m^2) bestemmes ved enaksede trykkforsøk. Normalt blir det skåret ut et prøvestykke med tverrsnitt $3,6 \times 3,6$ cm og høyde 10 cm på midten av sylinderprøven. Unntakssvis blir fullt tverrsnitt ($\phi 54$ mm) benyttet. Det tas hensyn til prøvens tverrsnittsøking under forsøket. Skjærfastheten settes lik halve trykkfastheten.

Videre blir uforstyrret skjærfasthet s og omrørt skjærfasthet s' bestemt ved konusforsøk. Dette er en indirekte metode til bestemmelse av skjærfastheten, idet nedsynkningen av en konus med bestemt form og vekt måles og den tilsvarende skjærfasthetoverdi tas ut av en tabell. Både trykkforsøk og konusforsøk gir udrenert skjærfasthet.

Følgende skala benyttes til å klassifisere leire etter udrenert skjærfasthet:

Meget blåt leire	$s < 1,25 t/m^2$	$\approx 12,5 kN/m^2$
Blåt leire	$s = 1,25 - 2,5 t/m^2$	$\approx 12,5 - 25 \text{ } \text{mm}$
Middels fast leire	$s = 2,5 - 5,0 t/m^2$	$\approx 25 - 50 \text{ } \text{mm}$
Fast leire	$s = 5,0 - 10,0 t/m^2$	$\approx 50 - 100 \text{ } \text{mm}$
Meget fast leire	$s > 10 t/m^2$	$\approx 100 \text{ } \text{mm}$

Sensitiviteten $S_t = \frac{s}{s_0}$, er forholdet mellom skjærfastheten i uforstyrret og omrørt tilstand.

Følgende skala benyttes til å klassifisere leire etter sensitivitet:

Lite sensitiv leire	$S_t < 8$
Middels sensitiv leire	$S_t = 8 - 30$
Meget sensitiv leire	$S_t > 30$

Følgende spesielle forsøk blir utført etter nærmere vurdering i hvert tilfelle:

Ødometerforsøk Σ utføres for å finne en jordarts sammentrykkbarhet. Prinsippet ved ødometerforsøkene er at en skive av jordarten med diameter 5 cm og høyde 2 cm belastes vertikalt. Prøven er innesluttet i en sylinder og ligger mellom 2 porøse filtersteiner. Lasten påføres trinnvis, og sammentrykkingen av prøven observeres som funksjon av tiden for hvert lasttrinn. Resultatene fremstilles ved å tegne opp den relative sammentrykking e som funksjon av belastningen. Setningsutviklingen tegnes opp i tidsdiagram. Dette gir grunnlag for beregning både av setningenes størrelse og tidsforløpet. Tidsforløpet er imidlertid særlig usikkert på grunn av mange ukjente faktorer som spiller inn.

Kornfordelingsanalyser av friksjonsjordarter (grovere enn silt og leire) utføres ved siktning, som regel i helt tørr tilstand. Inneholder massen en del finere stoff blir den våtsiktet. For silt og leire benyttes hydrometeranalyse. En viss mengde tørt materiale oppalennes i en bestemt mengde vann. Ved hjelp av hydrometer bestemmes synkehastigheten av de forskjellige kornfraksjonene, og på grunnlag av Stoke's lov kan kornstørrelsen tilnærmet beregnes.

Portorvninggraden i organiske jordarter bestemmes ved besiktigelse og krysting av materiale mellom fingrene. Graderingen skjer i henhold til von Post's ti-delte skala H 1 - H 10. Torv kan deles i følgende grupper:

Ribertorv	H 1 - H 4, planterester lett synlig
Mellomtorv	H 5 - H 7, planterester svakt synlig
Svarttorv	H 8 - H10, planterester ikke synlig.

Organisk innhold (humusinnhold) bestemmes vanligvis ved glødning av tørt materiale. Oljedetaket (vekttaket) angis i prosent av tørt materiale.

Proctorforsøk brukes til å undersøke pakningsegenskapene hos jordarter, spesielt hos velgraderte frikajonsmasser. Massen blir stampet lagvis inn i en stålsylinder av bestemt volum, og tørr romvekt beregnet etter tørking av prøven. Avhengig av pakningsarbeidet skiller mellom standard Proctor og modifisert Proctor. Den siste innebefatter størt pakningsarbeid. Forsøkene utføres med varierende vanninnhold, og det vanninnhold som gir høyest tørr romvekt kalles optimalt. Den høyeste romvekt kalles 100% Proctor.

OSLO KOMMUNE, GEOTEKNIK KONTOR

BORPROFIL, Boret i 1976 for R-1395

Sted: SANDSTUVEIEN

Hull: 1/R-1395

Nivå: 132,0

Prøv: Skovl

Aksialdefor-

masjon %



Bilag:

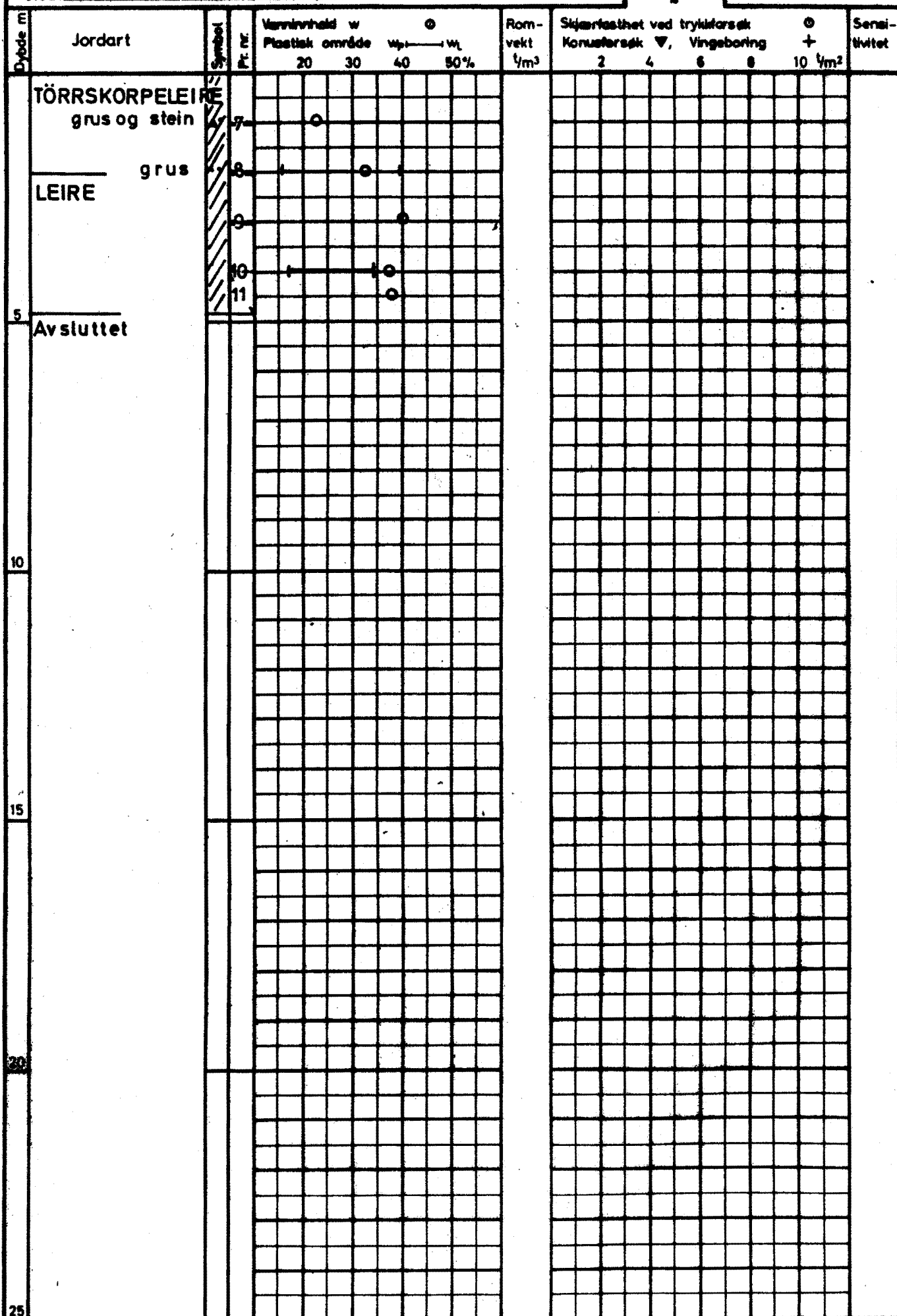
1

Oppdrag:

R-1768

Dato:

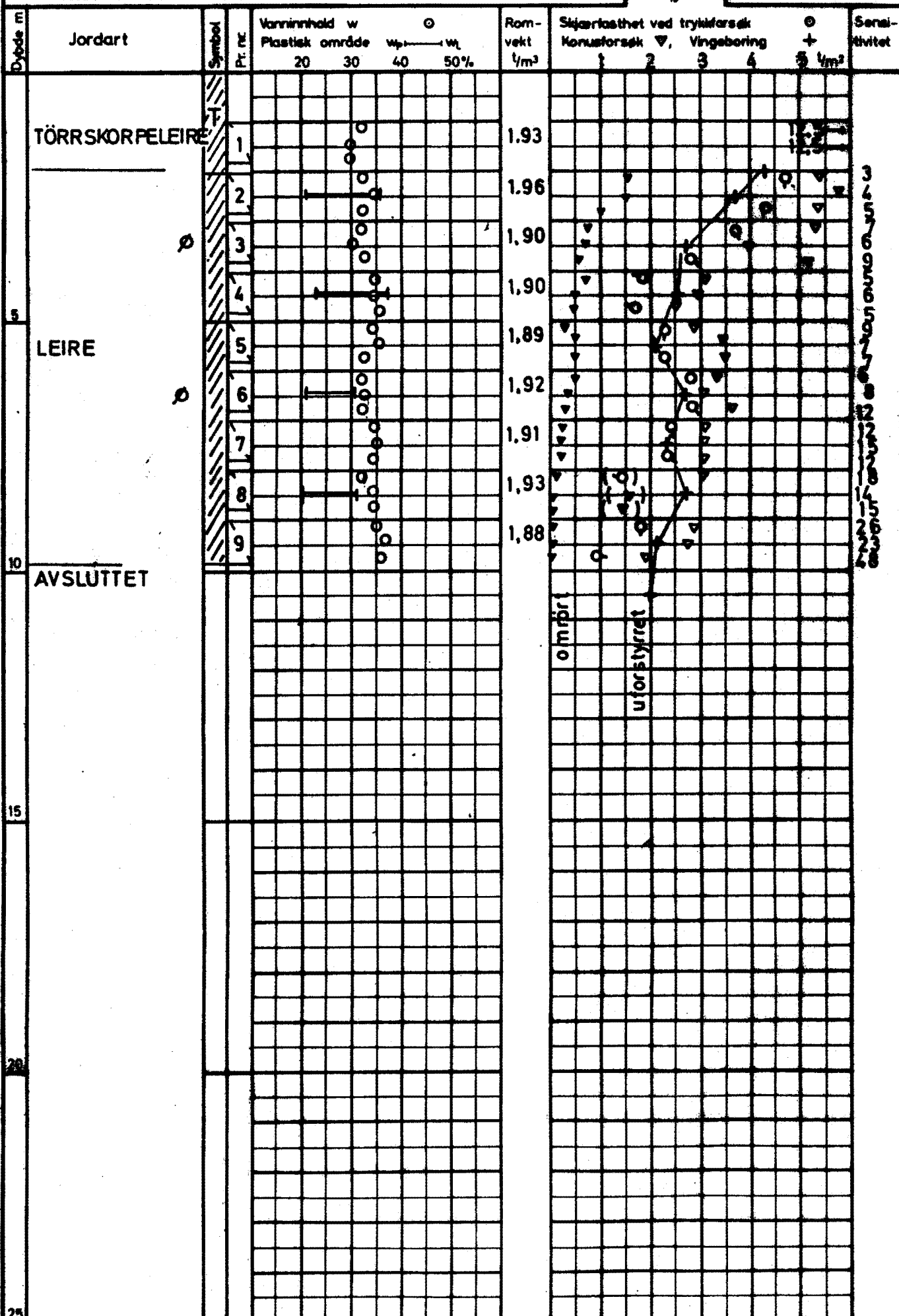
nov 82



Hull: 5

Nivå: 133,1

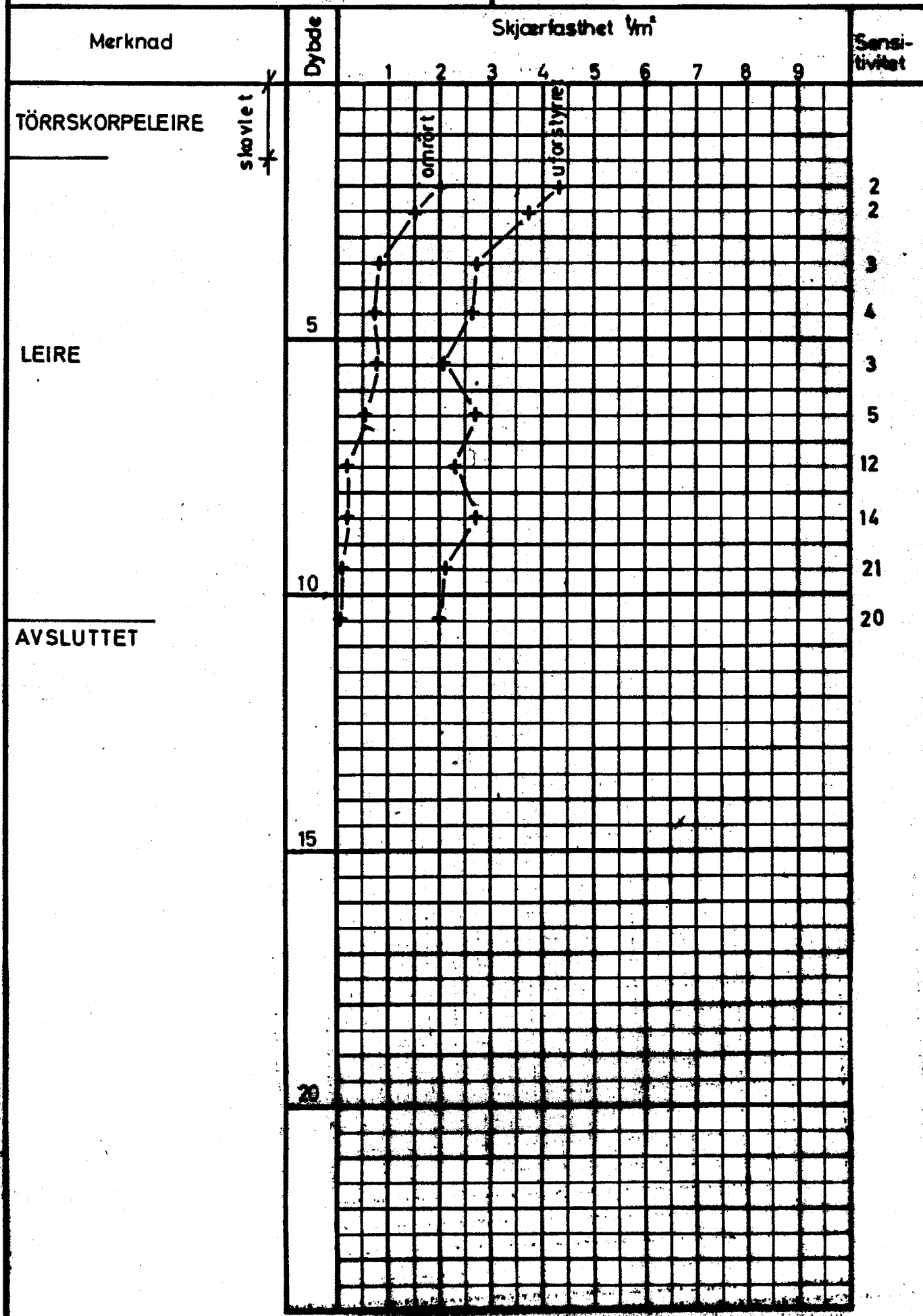
Prøv: 54 mm

Aksialdetor-
masjon %
15 - Q = 6Bilag: 2
Oppdrag: R-1768
Dato: juni 82

OSLO KOMMUNE GEOTEKNIK KONTOR
VINGEBORING
Sted: SANDSTUVEIEN

Hull: 5
 Nivd: 133.1
 Ving: 65 - 130

Bilag: 3
 Oppdr: R-1768
 Dato: juni 82



OSLO KOMMUNE GEOTEKNIK KONTOR

VINGEBORING

Sted: SANDSTUVEIEN

Hull: 10

Bilag: 4

Nivd: 136,3

Oppdr: R-1768

Ving: 65 - 130

Dato: juni 82

Merknad

Dypte

Skjærfasthet kN/m²

Sensi-
tivitet

TÖRRSKORPE LEIRE

skovlet

5

dm/tot

sporsyre

> 5,0

10

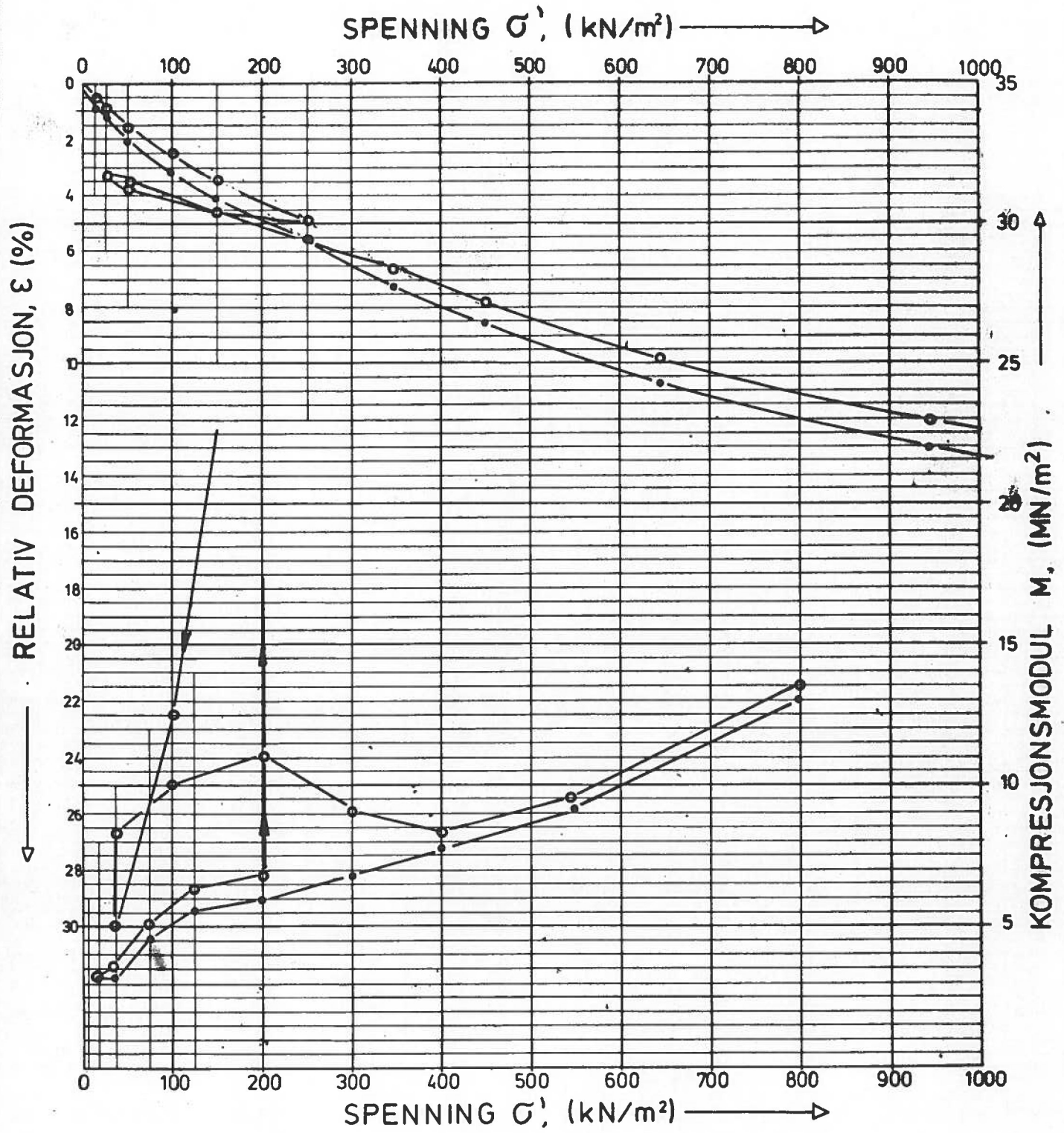
15

20

LEIRE

AVSLUTTET

ANT. FJELL I EUG.
SONDERING



HULL NR.	LAB. NR.	DYBDE m	P_0 (kN/m ²)	P_c (kN/m ²)	OCR	JORDART	ANM.
5	1768 - 3	3.3 - 3.4	~ 45	~ 225	5.0	Leire	• Prøve 1
5	— II —	— II —	— n —	— n —	— II —	— II —	• Prøve 2

$\sigma' < P_c$: $M \approx 8 \text{ MN/m}^2$

$\sigma' > P_c$: $m \approx 16$

SANDSTUVEIEN

Ödometerforsök

OSLO KOMMUNE
Geoteknisk kontor

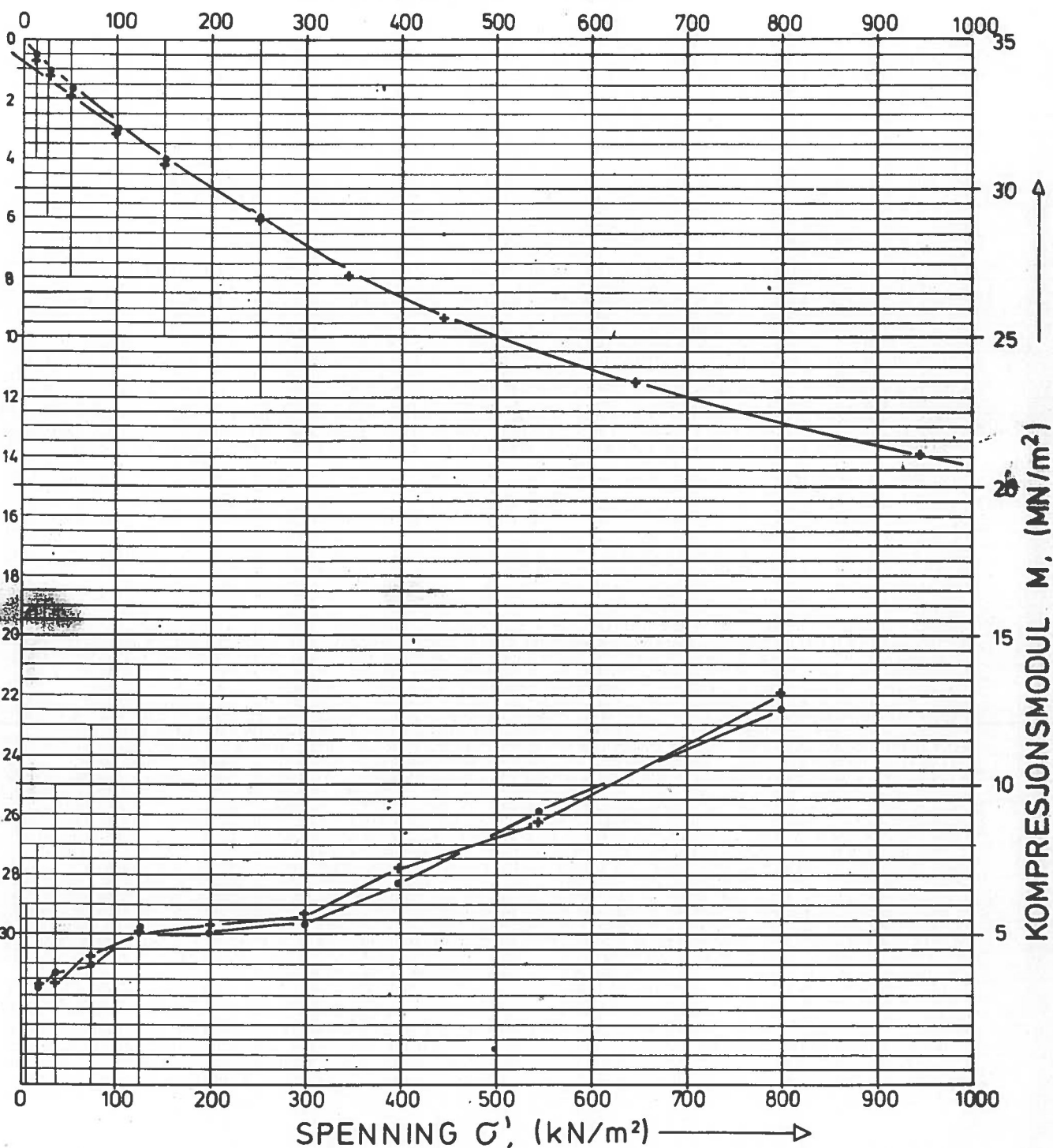
R 1768

Bilag 5

Dato nov 82

SPENNING σ' , (kN/m²) →

RELATIV DEFORMASJON, ϵ (%) ↓



HULL NR.	LAB. NR.	DYBDE m	p_0 (kN/m ²)	p_c (kN/m ²)	OCR	JORDART	ANM.
5	1768-6	6,3 - 6,4	~ 75	~ 250	3,3	Leire	• Prøve 1
5	— " —	— " —	— " —	— " —	— " —	— " —	• Prøve 2

$\sigma' < p'_c$: $M \approx 7,5$ MN/m²

$\sigma' > p'_c$ $m \approx 16$

SANDSTUVEIEN

Ödometerforsök

OSLO KOMMUNE
Geoteknisk kontor

R 1768

Bilag 6

Dato nov 82

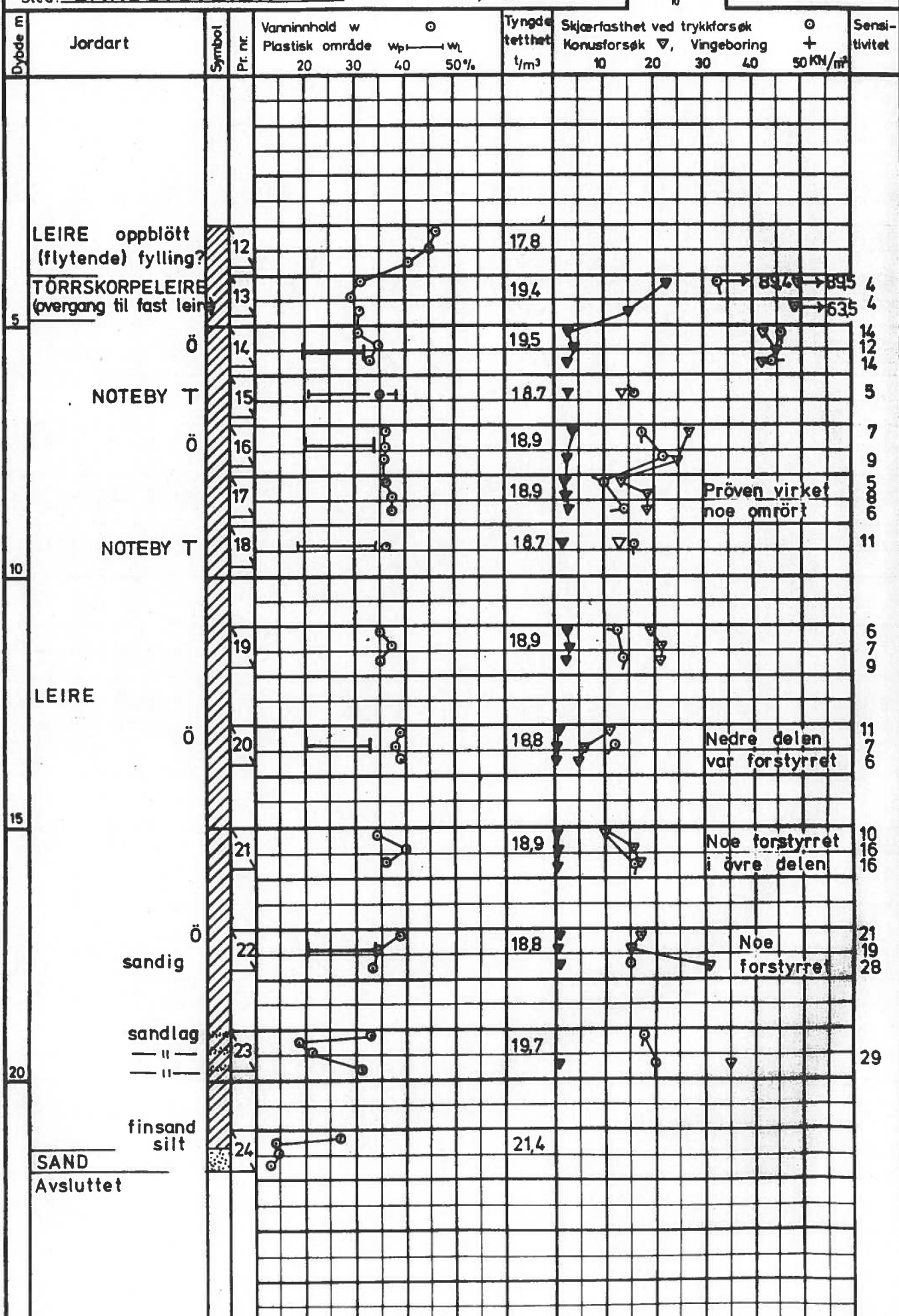
BORPROFIL

Sted: SANDSTUVEIEN

Hull: 1

Nivå: 135,2

Prø: 54 mm

Aksialdeformasjon %
15 10 5Bilag: 10
Oppdrag: R-1768
Dato: Mai -83

Hull: 1

Nivå: 135.2

Prø: 54mm

Aksialdefor-

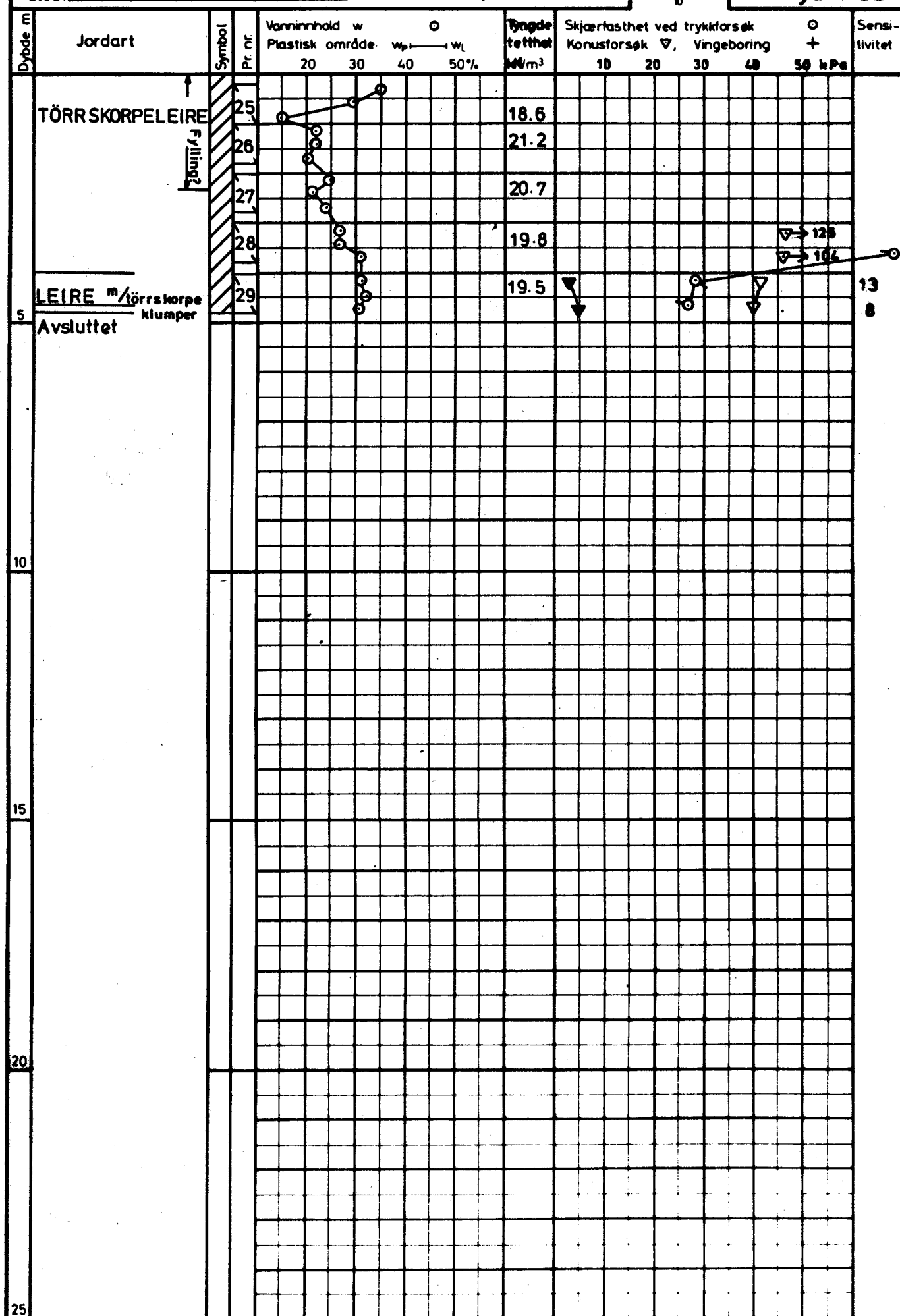
masjon %

15 Q 5

Bilag: 11

Oppdrag: R-1768

Dato: juni 82



Hull

11

Nivå

135.0

Prø

54 mm

Aksialdefor-
masjon %

Bilag

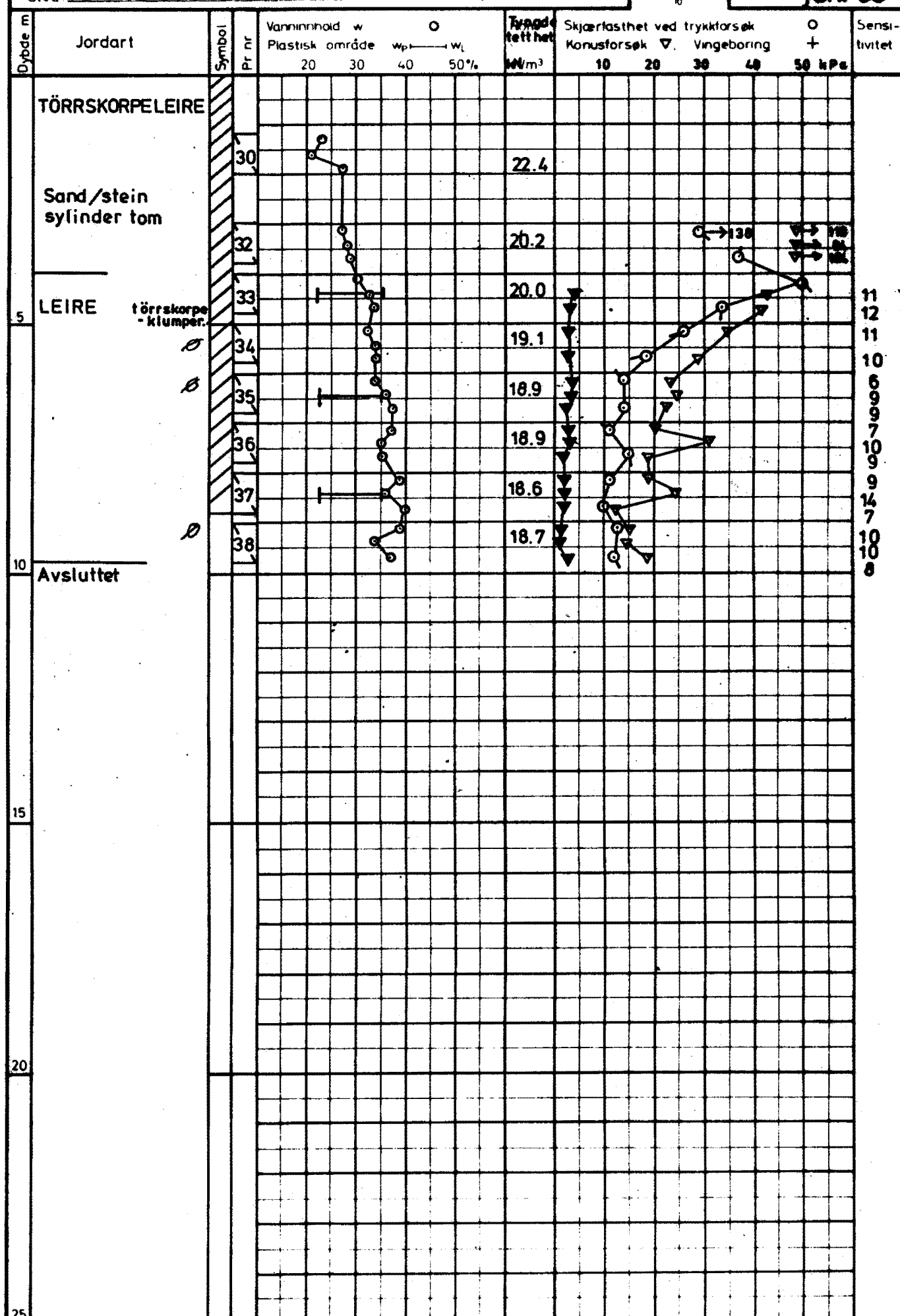
12

Oppdrag

R-1768

Dato

juni 83



Sted: SANDSTUVEIEN

Hull: 4 og 13

Nivå: _____

Prøv: Skovl

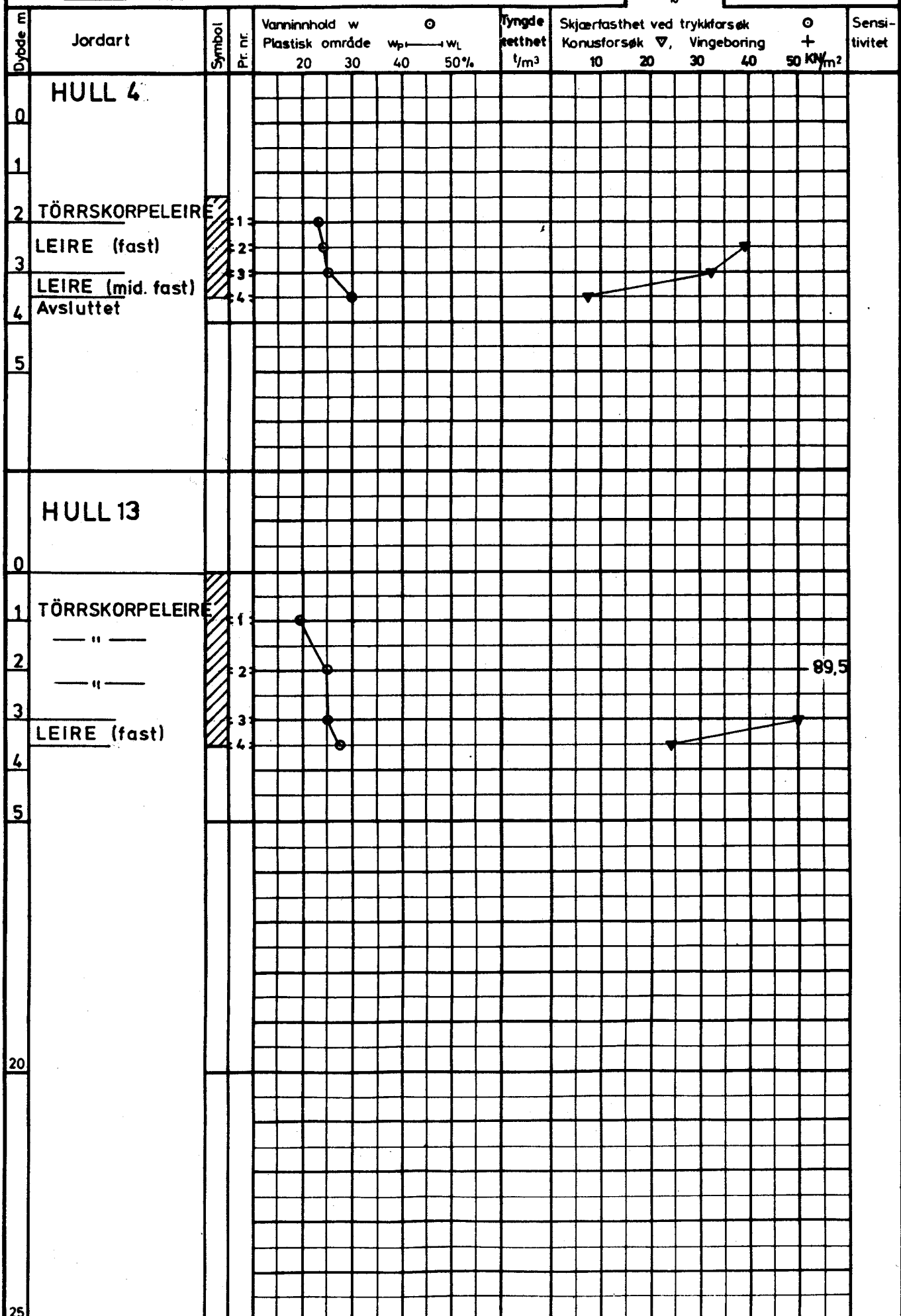
Aksialdefor-
masjon %

15 Q 5
10

Bilag: 13

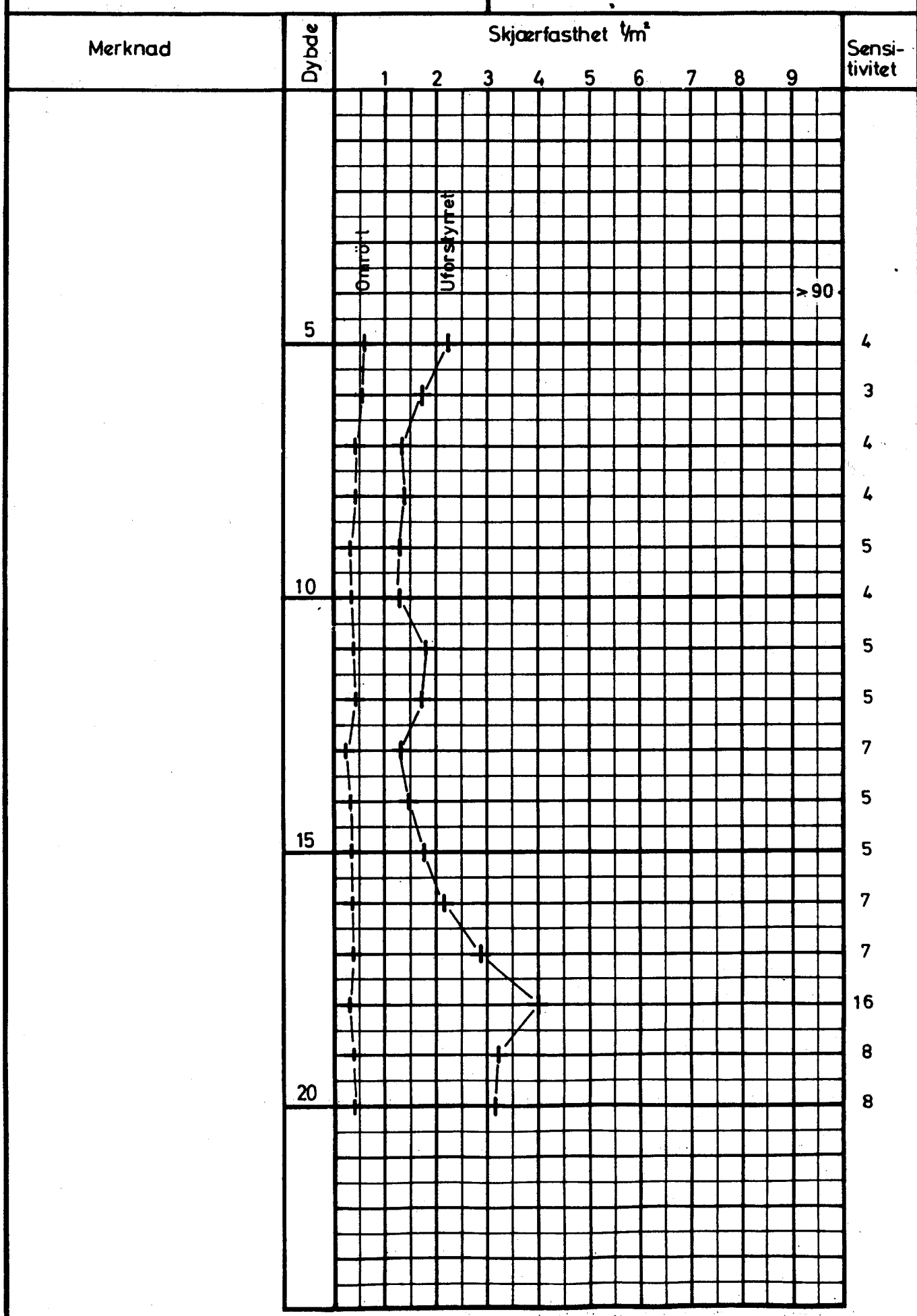
Oppdrag: R-1768

Dato: Mai -83



OSLO KOMMUNE GEOTEKNIK KONTOR

VINGEBORING

Sted: SANDSTUVEIENHull: 1Bilag: 14Nivå: 135,1Oppdr: R-1768Ving: 65x130Dato: Mai -83

OSLO KOMMUNE GEOTEKNIK KONTOR

VINGEBORING

Sted: SANDSTUVEIEN

Hull: 14

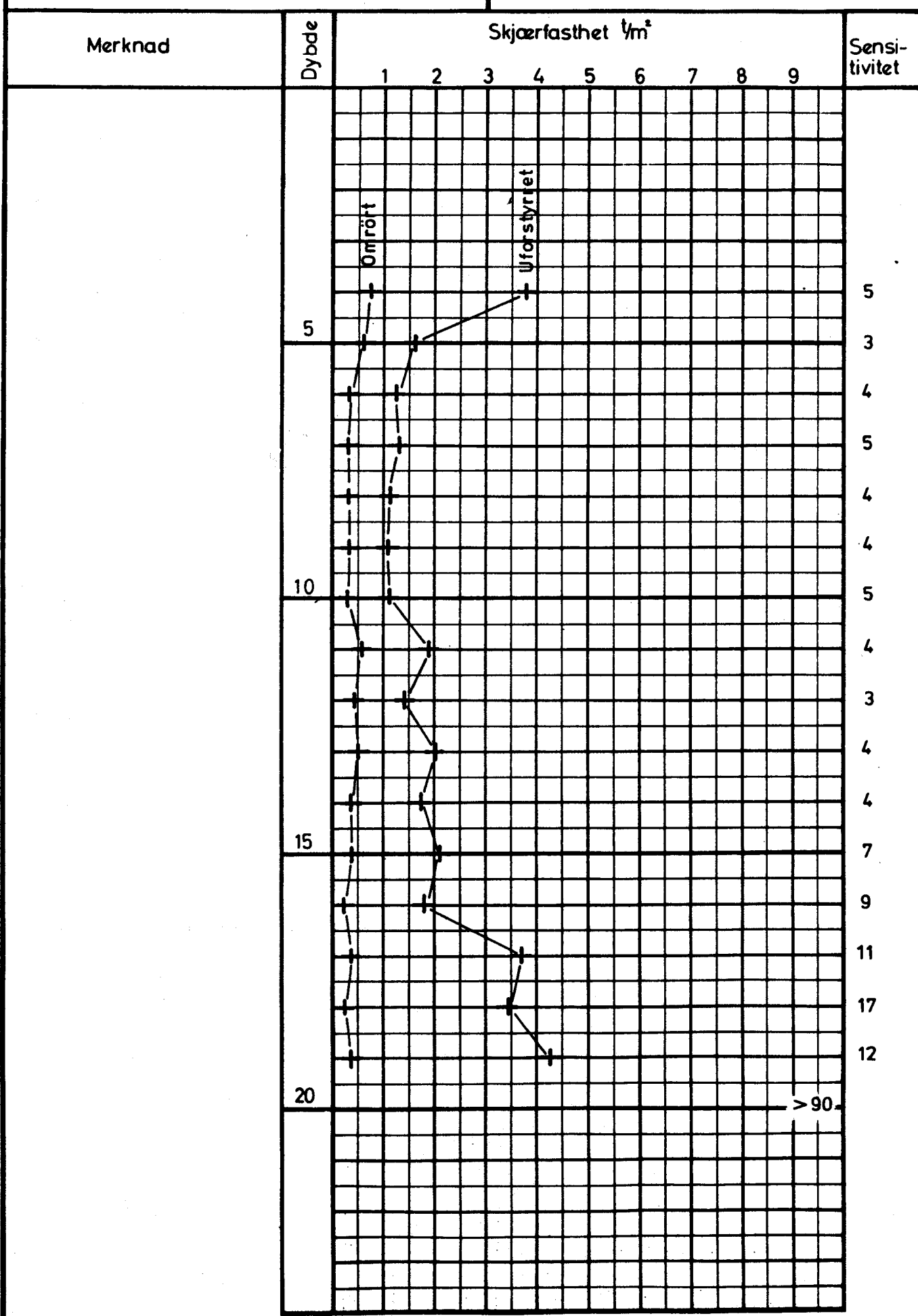
Bilag: 15

Nivå: 134,7

Oppdr: R-1768

Ving: 65x130

Dato: Mai -83



OSLO KOMMUNE GEOTEKNIK KONTOR

VINGEBORING

Sted: SANDSTUVEIEN

Hull: 13

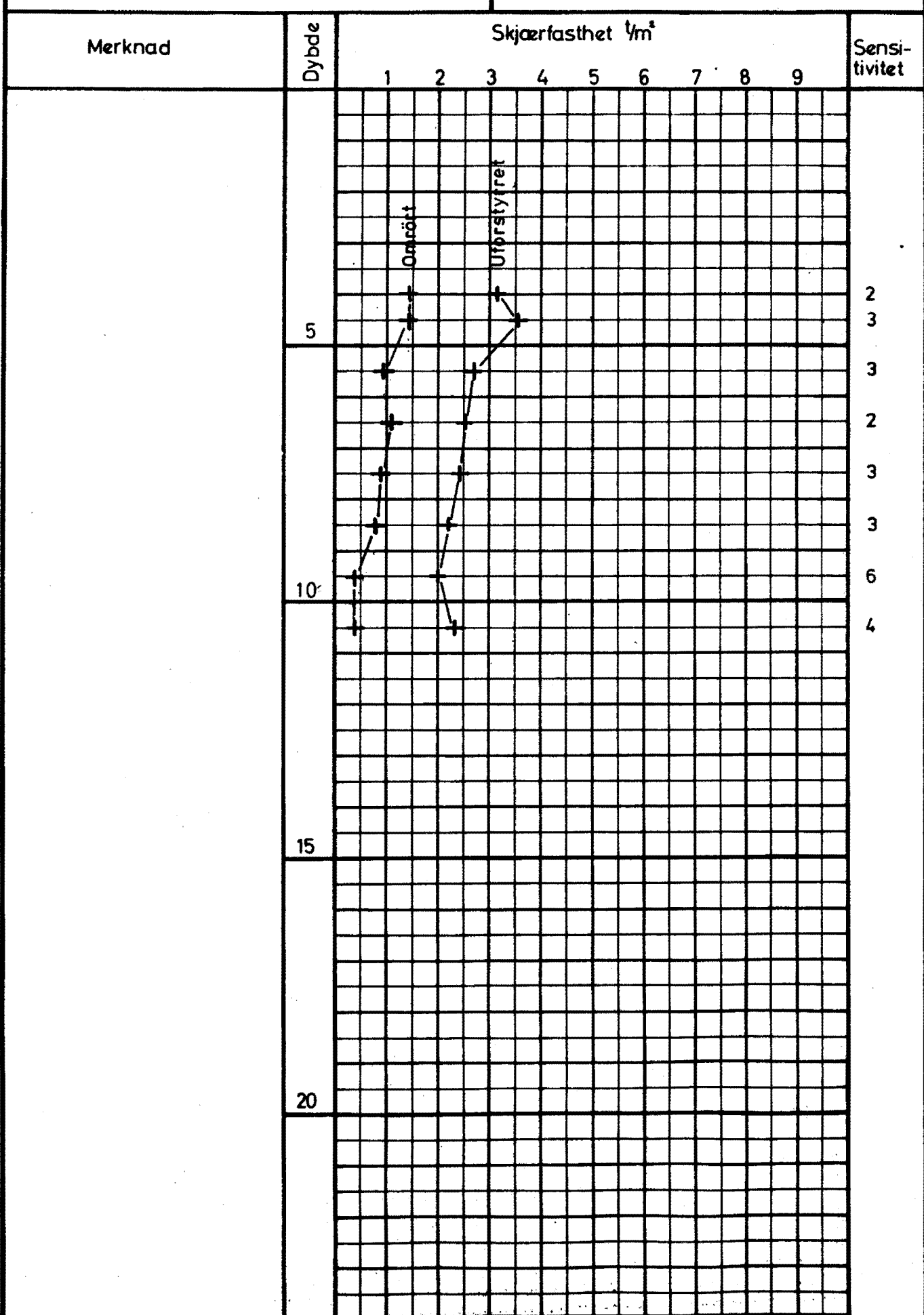
Bilag: 16

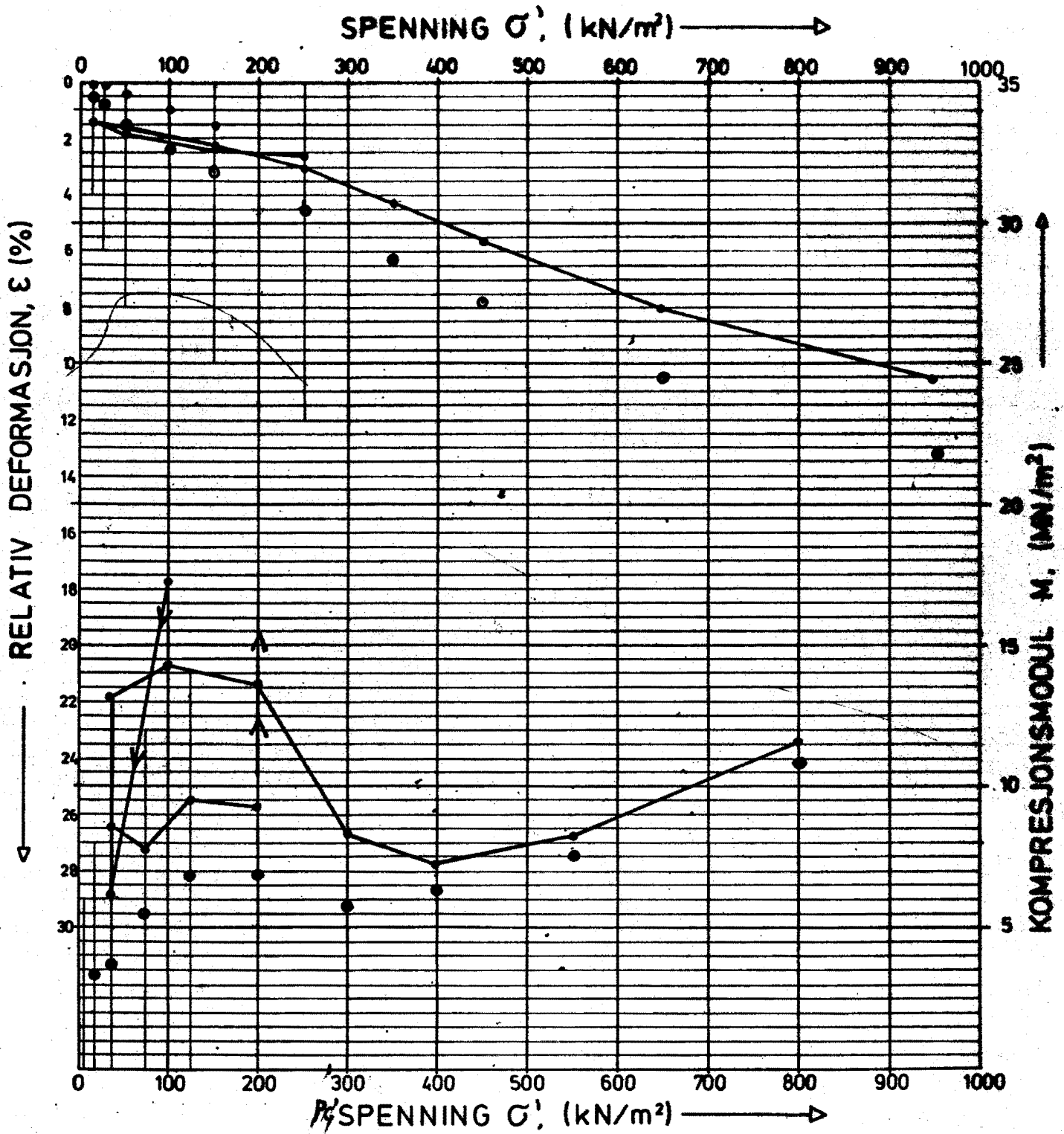
Nivå: 134,7

Oppdr: R 1768

Ving: 65x130

Dato: Mai -83





MULL NR.	LAB. NR.	DYBDE m	p_o (kN/m ²)	p_c (kN/m ²)	OCR	JORDART	ANN.
STN-14	53	50	280	5.6	Leire		
—	53	—	—	—	—	Gammelt	

$\sigma' < p_c$; $M = 10 \text{ MN/m}^2$

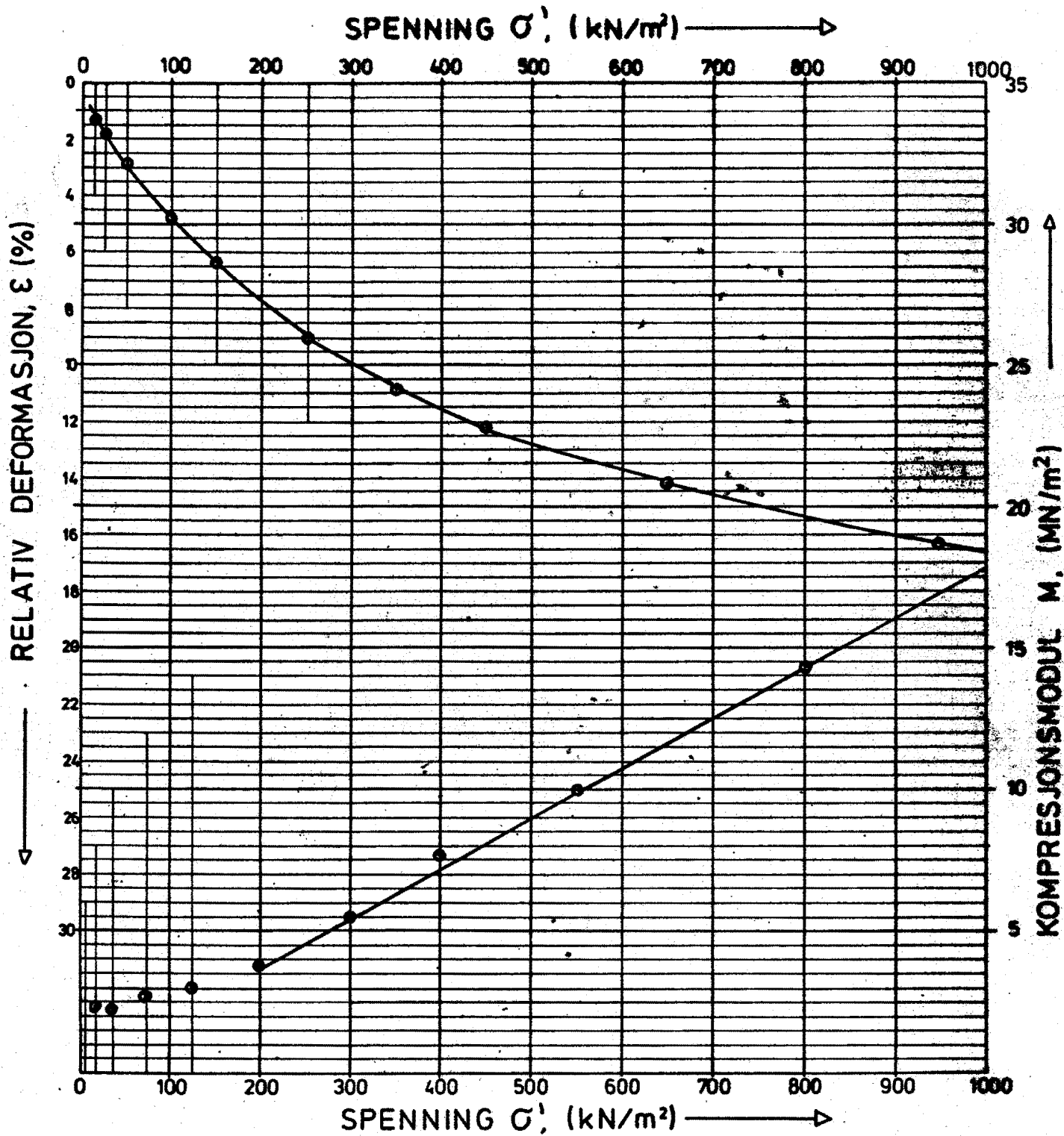
$\sigma' > p_c$; $m \approx 14$

SANDSTUVEIEN BRO.
Ödometerforsök, null 1.

OSLO KOMMUNE
Geotekniske kontor

R 1768
Blaag 17

Dato



HULL NR:	LAB. NR:	DYBDE m	P_c (kN/m ²)	P_e (kN/m ²)	OCR	JORDART	ANM
1768-16	77	70	110	16			

$\sigma' < P_c$: M = 4 MN/m²

$\sigma' > P_c$: m = 18

SANDSTUVEIEN. BRO.

Ödometerforsök, hull 1.

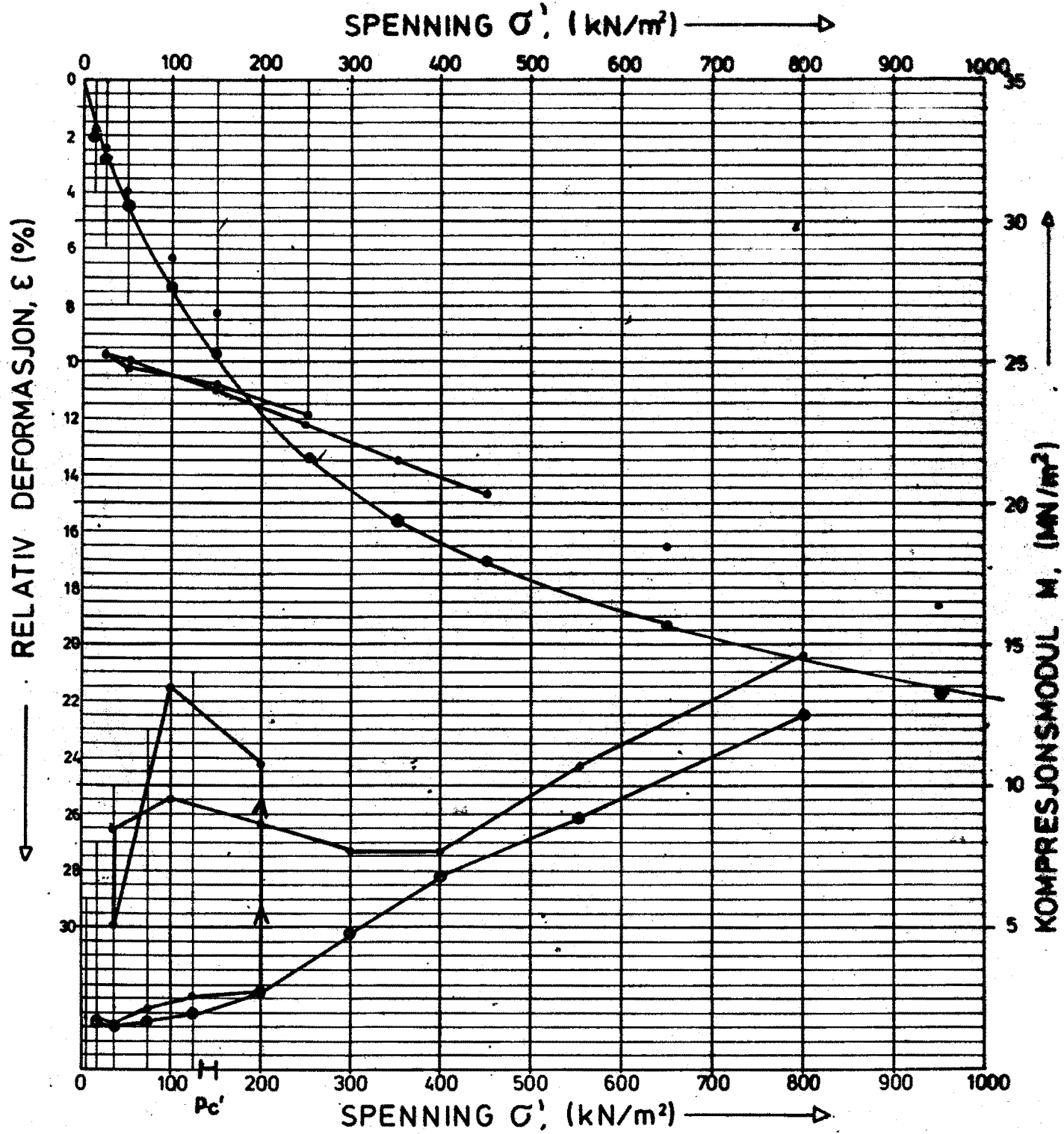
R 1768

Bokag 18

OSLO KOMMUNE

Grunnundersøkingskontor

Dato



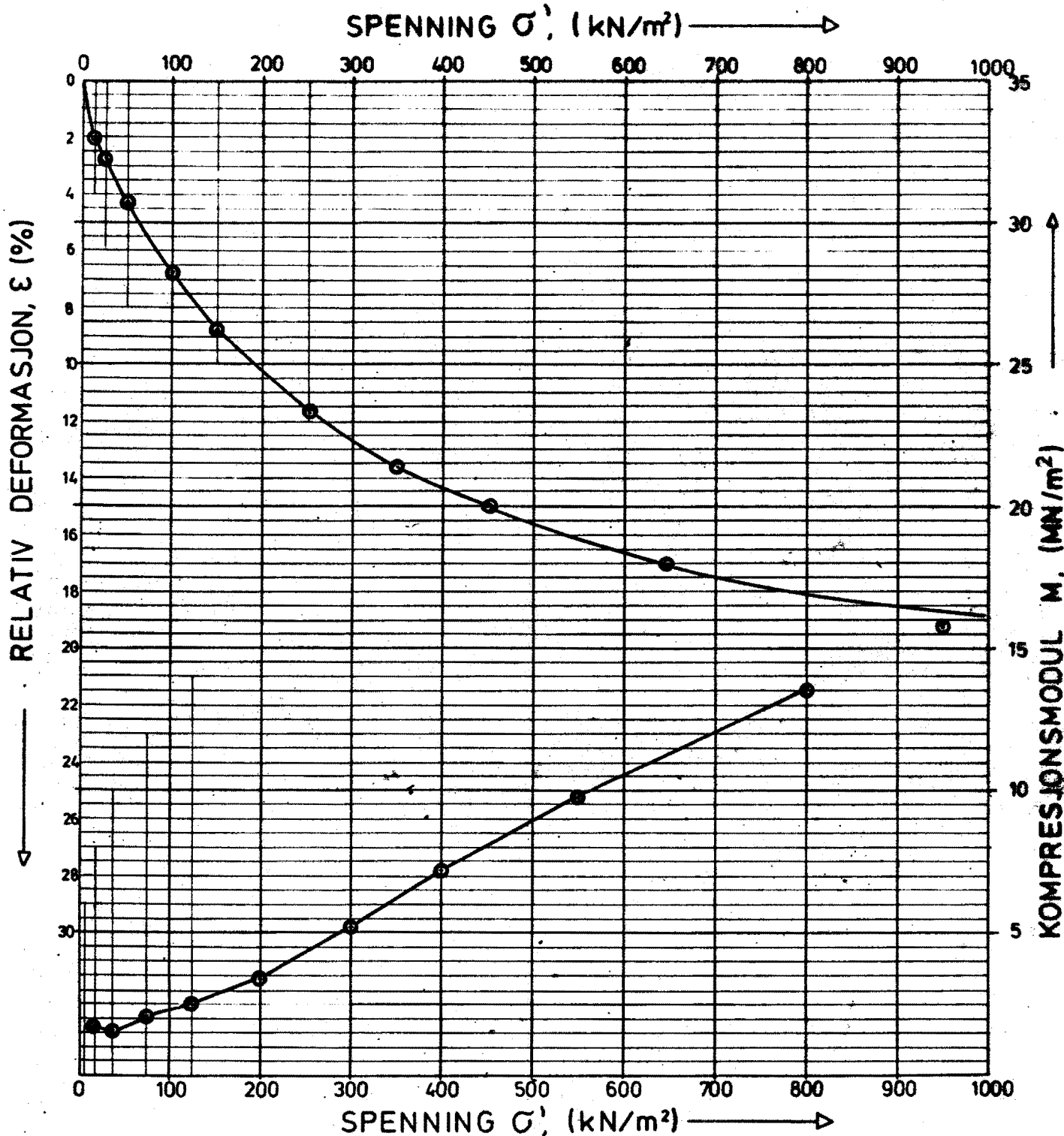
HULL NR.	LAB. NR.	DYBDE m	P_e (kN/m²)	P_c (kN/m²)	OCR	JORDART	ANM.
1768-20	1768-20	13.2	124	150			•
1	—	—	—	—			• Anslaget

$\sigma' < P_c$: $M = 5 \text{ MN/m}^2$

$\sigma' > P_c$: $m = 16$

SANDSTVEIEN, BRO.
Ödometerforsök
Hull 1.

R 1768
Bilag 19



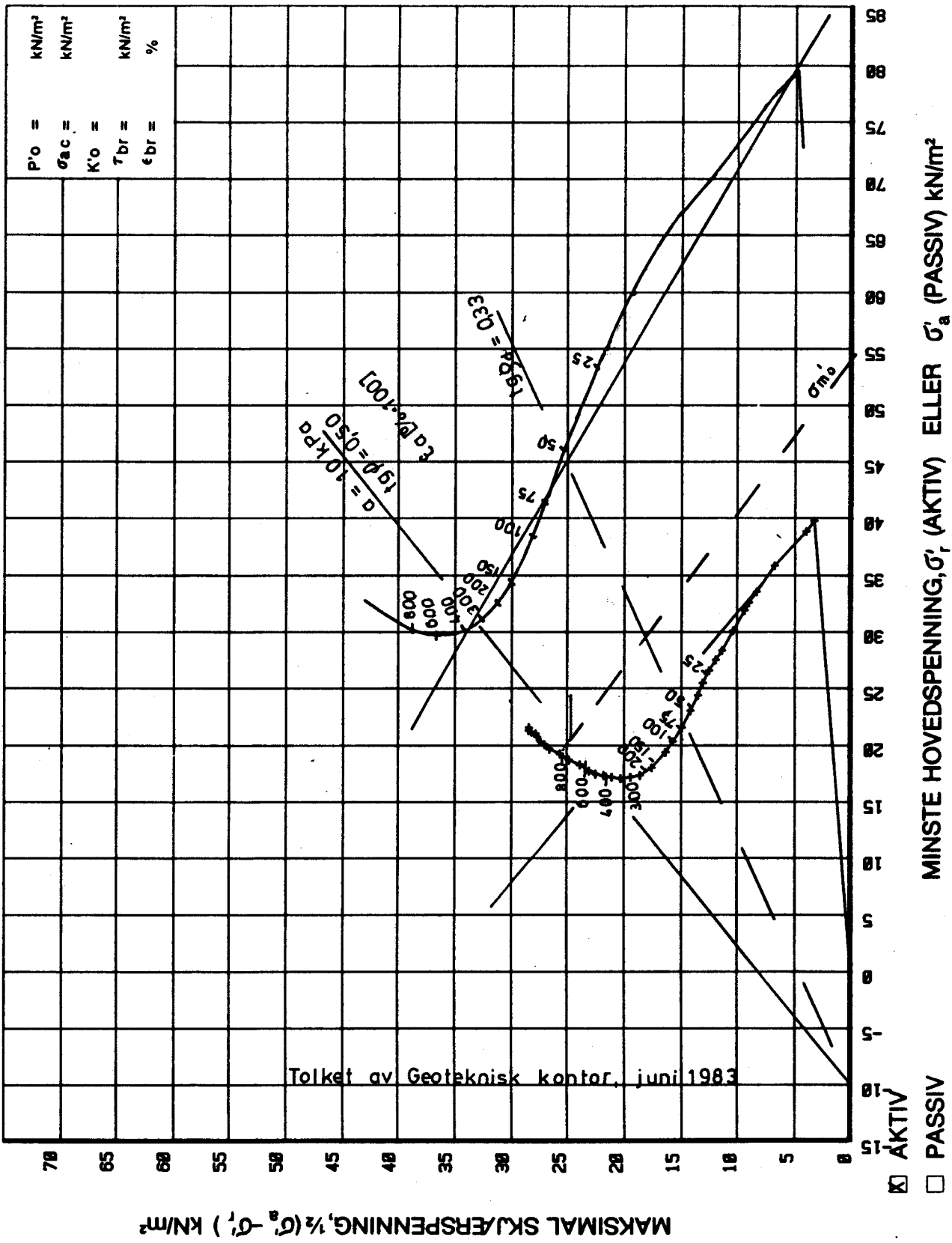
HULL NR.	LAB. NR.	DYBDE m	P_o (kN/m^2)	P_i (kN/m^2)	OCR	JORDART	ANM.
I	1768-22	17,1	161		1,0		

$\sigma' > P_c$: $m = 17$

SANDSTUVEIEN, BRO
Ödometerforsök hull 1.

OSLO KOMMUNE
Geoteknisk kontor

R 1768
Bilag 20
Dato



TREAKSIALFORSØK
HOVEDSPENNINGSVETOR

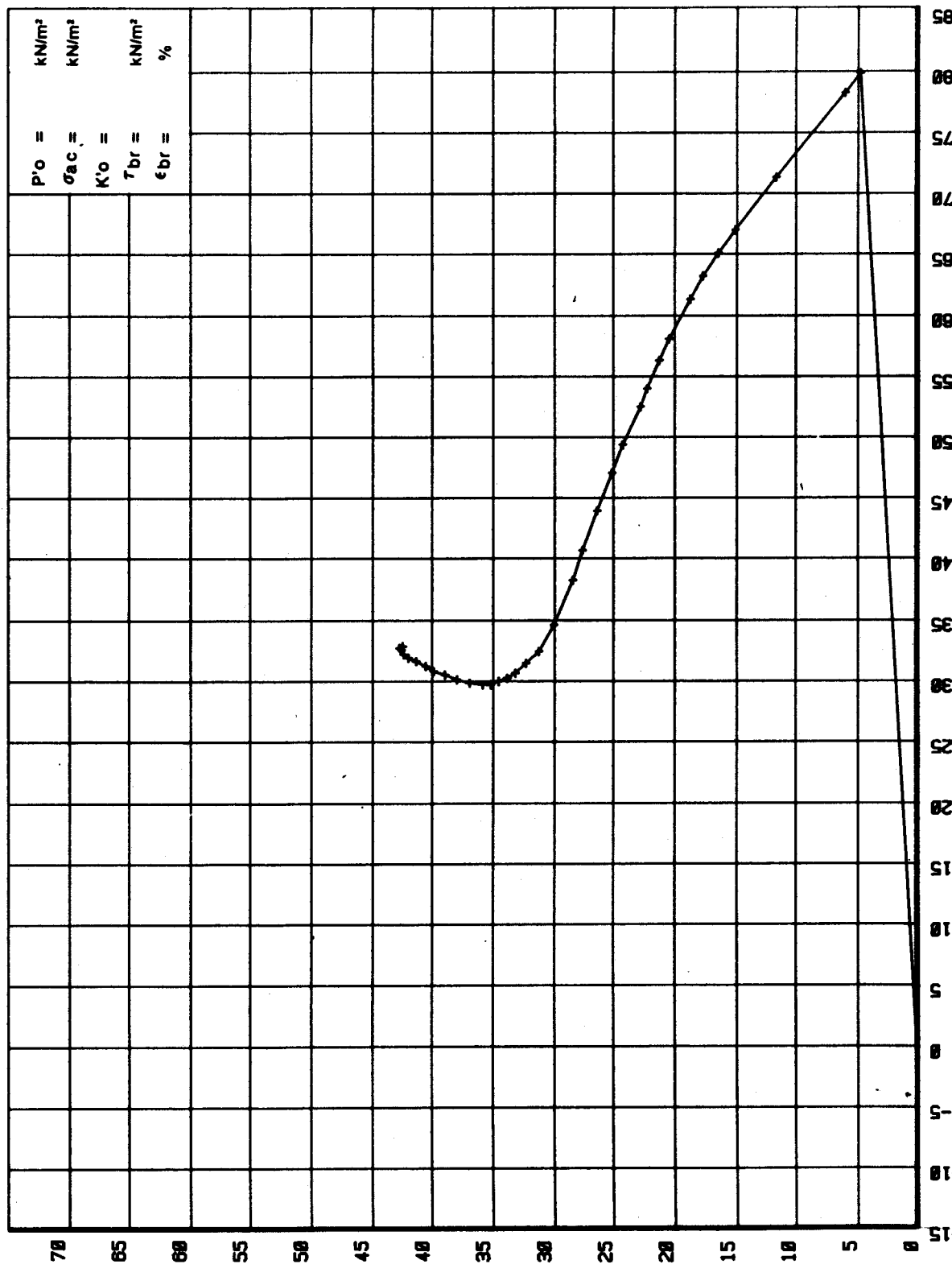
SANDSTUVEIEN BRO

BORING NR.	1	TEGNET	REV.
DYBDE m (KOTE)	SK	KONTR.	KONTR.
6.45			
DATO			DATO
24/6-83			

DATA-LAGRET NOTFØRT DIREKTE

MINSTE HOVEDSPENNING, σ'_a (AKTIV) ELLER σ'_a (PASSIV) kN/m^2

AKTIV PASSIV



MAKSIMAL SKJÆRFERSPENNING, $\tau_s(\sigma_a, \sigma'_a)$ kN/m^2

TREAKSIALFORSØK
HOVEDSPENNINGSVEKTOR

SANDSTUVEIEN BRO

BORING NR. **1** TEGNET SK REV.

DYBDE m (KOTE) KONTR. KONTR.

6.35 DATO DATO

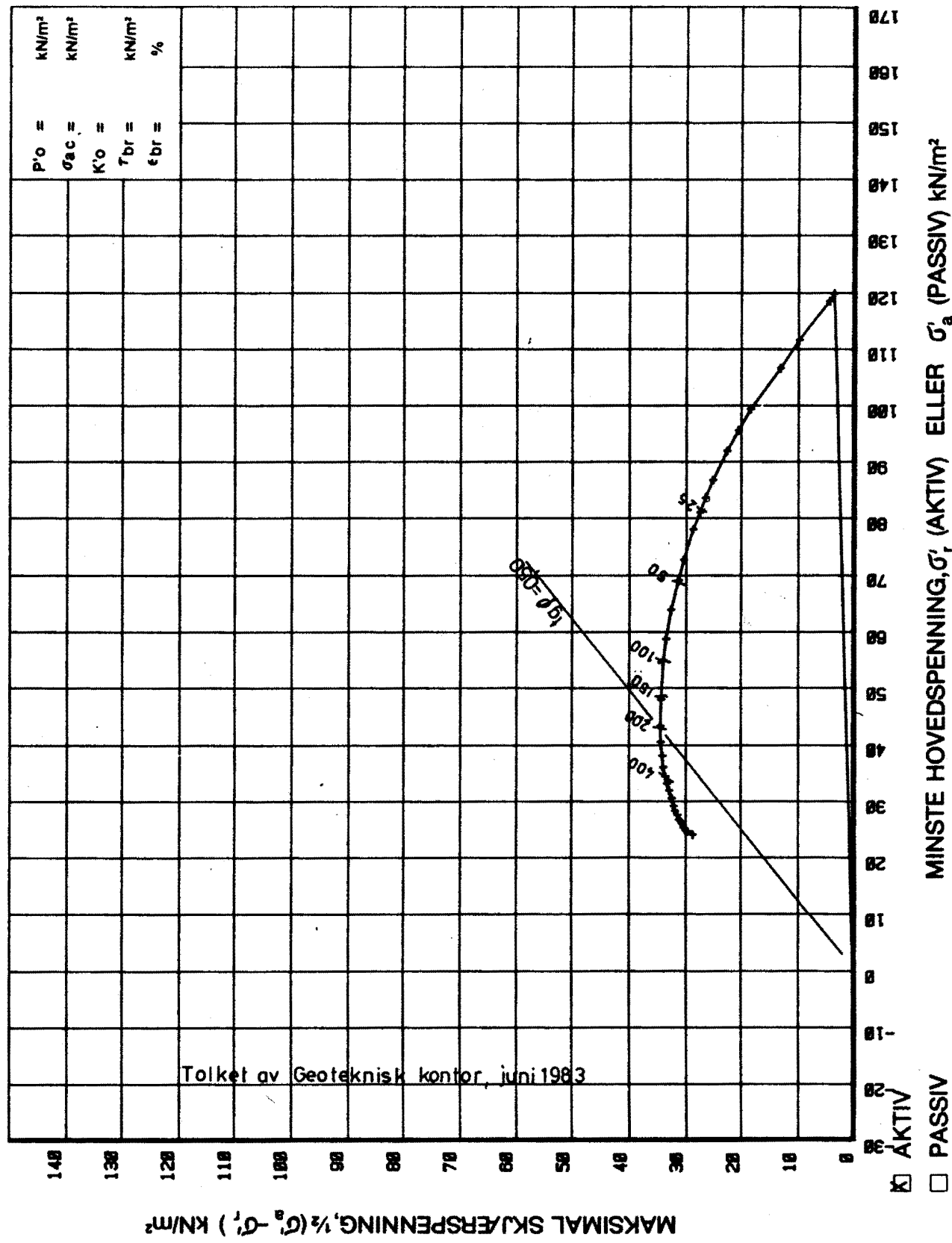
24/6-83

OPPDRAg NR. TEGN. NR. REV.

24583

75

R.-1768
Bilag 22



TREAKSIALFORSØK

HOVEDSPENNINGSVEKTOR

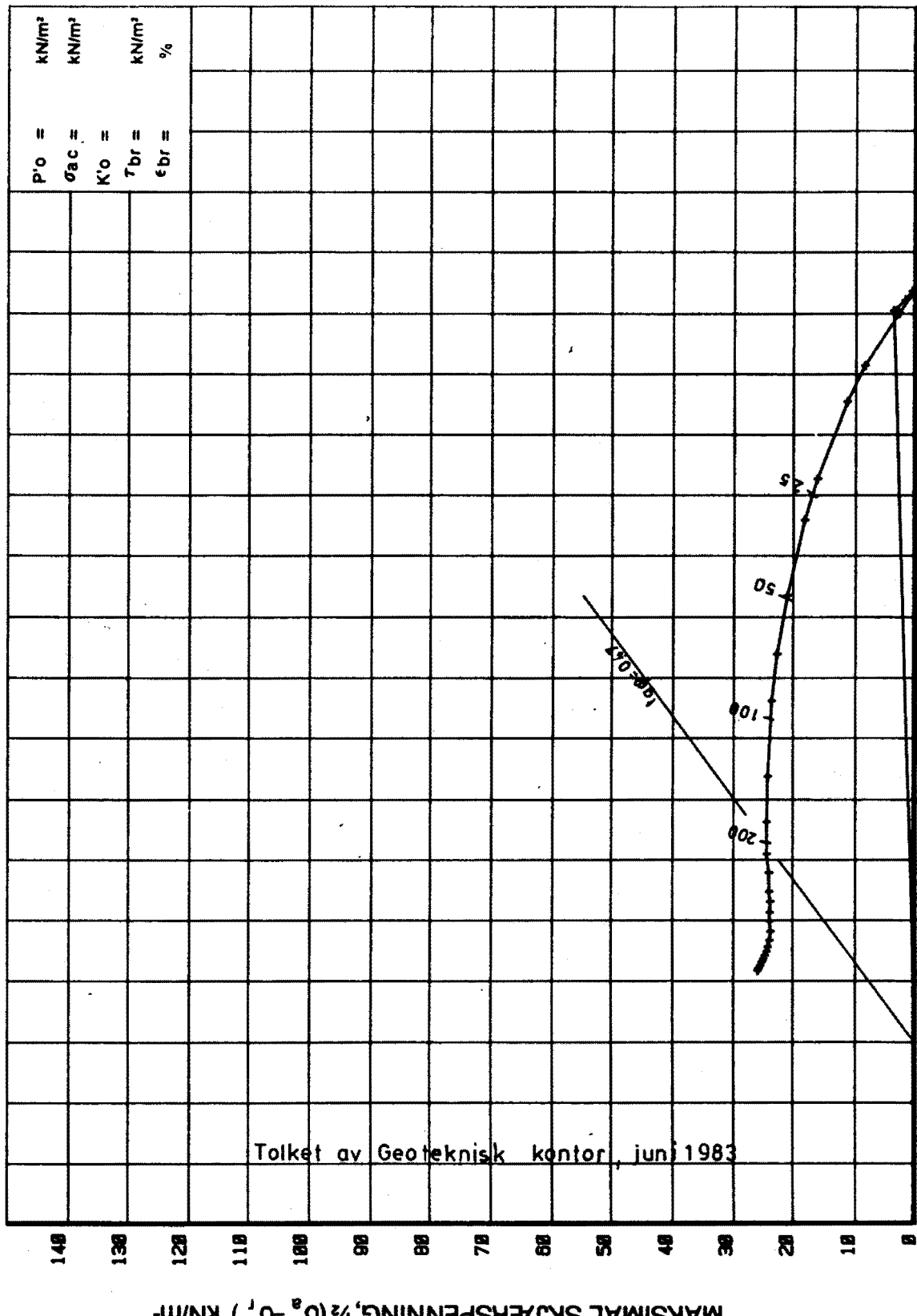
SANDSTUVEIEN BRO.

BORING NR.	TEGNET	REV.
X 1	SK	
DYBDE m (KOTE)	KONTR.	KONTR.
9.40		
DATO	DATO	
24/6-83		

PÅTAKKRET NOTER SC 1

AKTIV PASSIV

MINSTE HOVEDSPENNING, G'_t (AKTIV) ELLER G'_a (PASSIV) KN/m^2

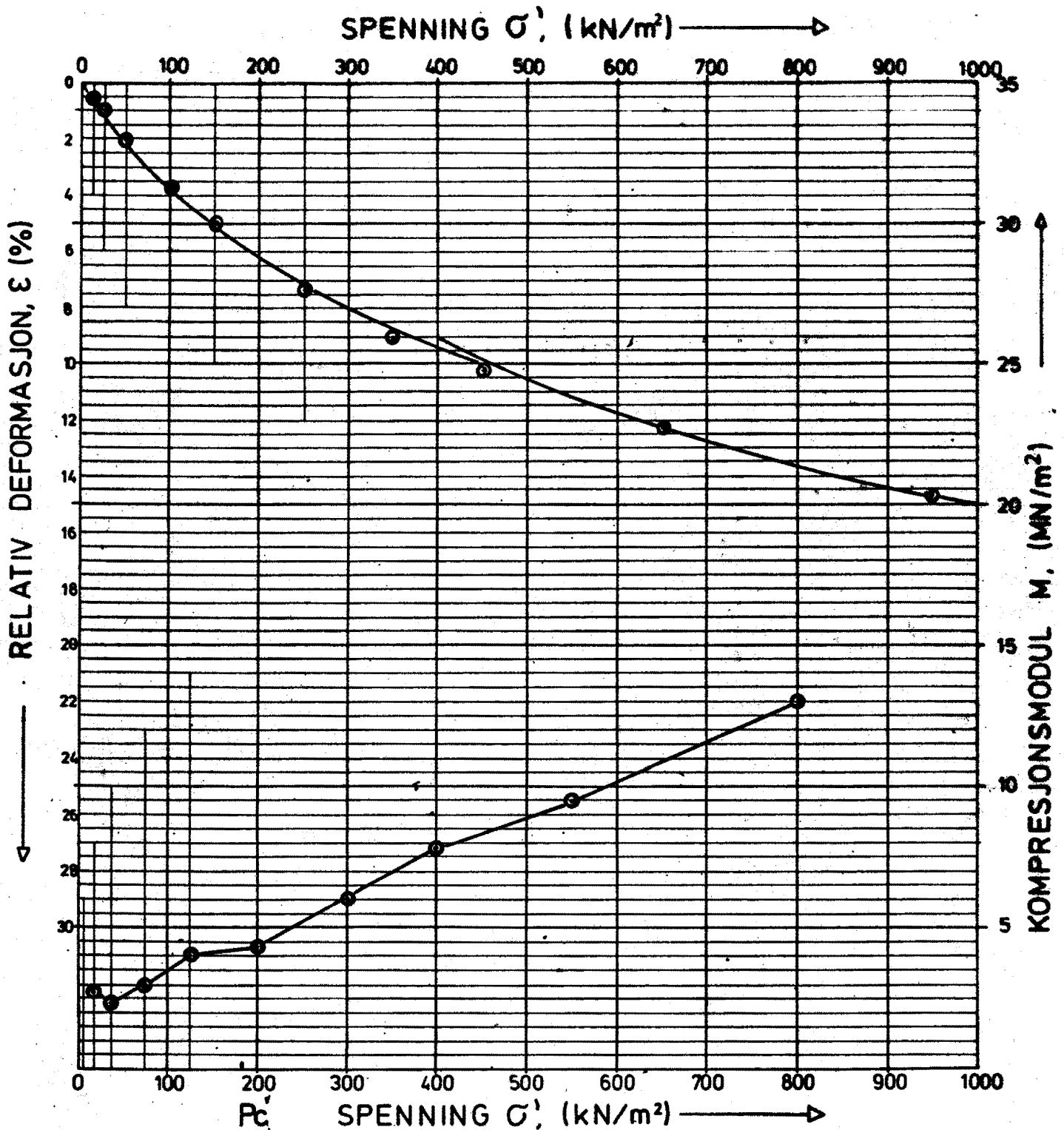


MAKSIMAL SKJÆRSPENNING, $1/2(G_a - G_t)$ KN/m^2

TREAKSIALFORSØK
HOVEDSPENNINGSVEKTOR

SANDSTUVEIEN BRO

BORING NR.	TEGNET	REV.
X 1	SK	
DYBDE m (KOTE) 9.30	KONTR.	KONTR.
	DATO 27/6-83	DATO



HULL NR:	LAB. NR:	DYBDE m	P_0 (kN/m ²)	P_c (kN/m ²)	OCR	JORDART	ANM
11	1768-34	54-55	50	~180		Leire	

$$\sigma' < P_0': M = 5 \text{ MN/m}^2$$

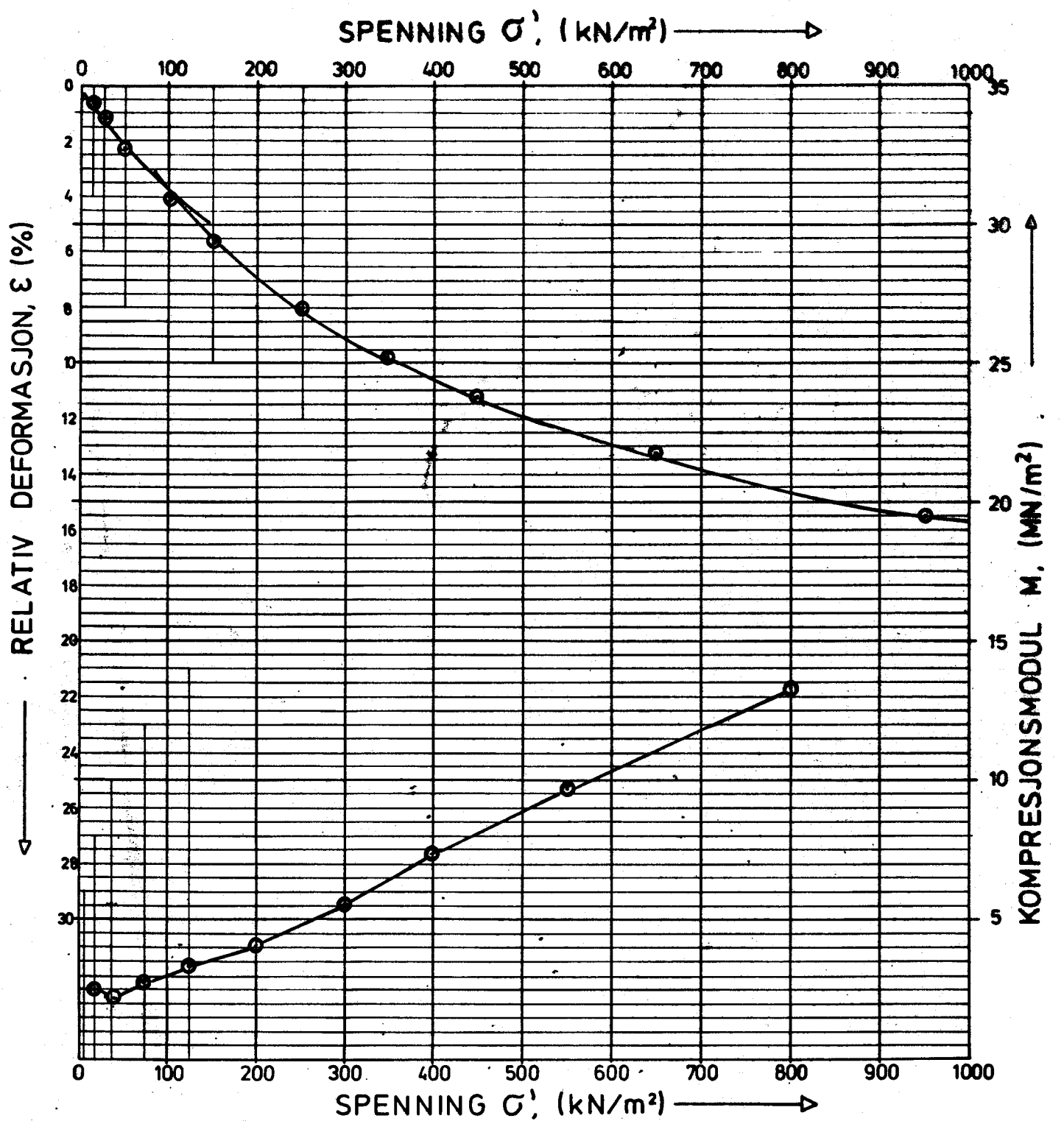
$$\sigma' > P_c': m = 16$$

SANDSTUVEIEN. BRO
Ödometerforsök hull 11.

OSLO KOMMUNE
Geotekniske kontor

R 1768
Blad 25

Dato



HULL NR.	LAB. NR.	DYBDE m	p_0 (kN/m^2)	p_c (kN/m^2)	OCR	JORDART	ANM.
11	1768-35	61 - 62	57	~ 160			

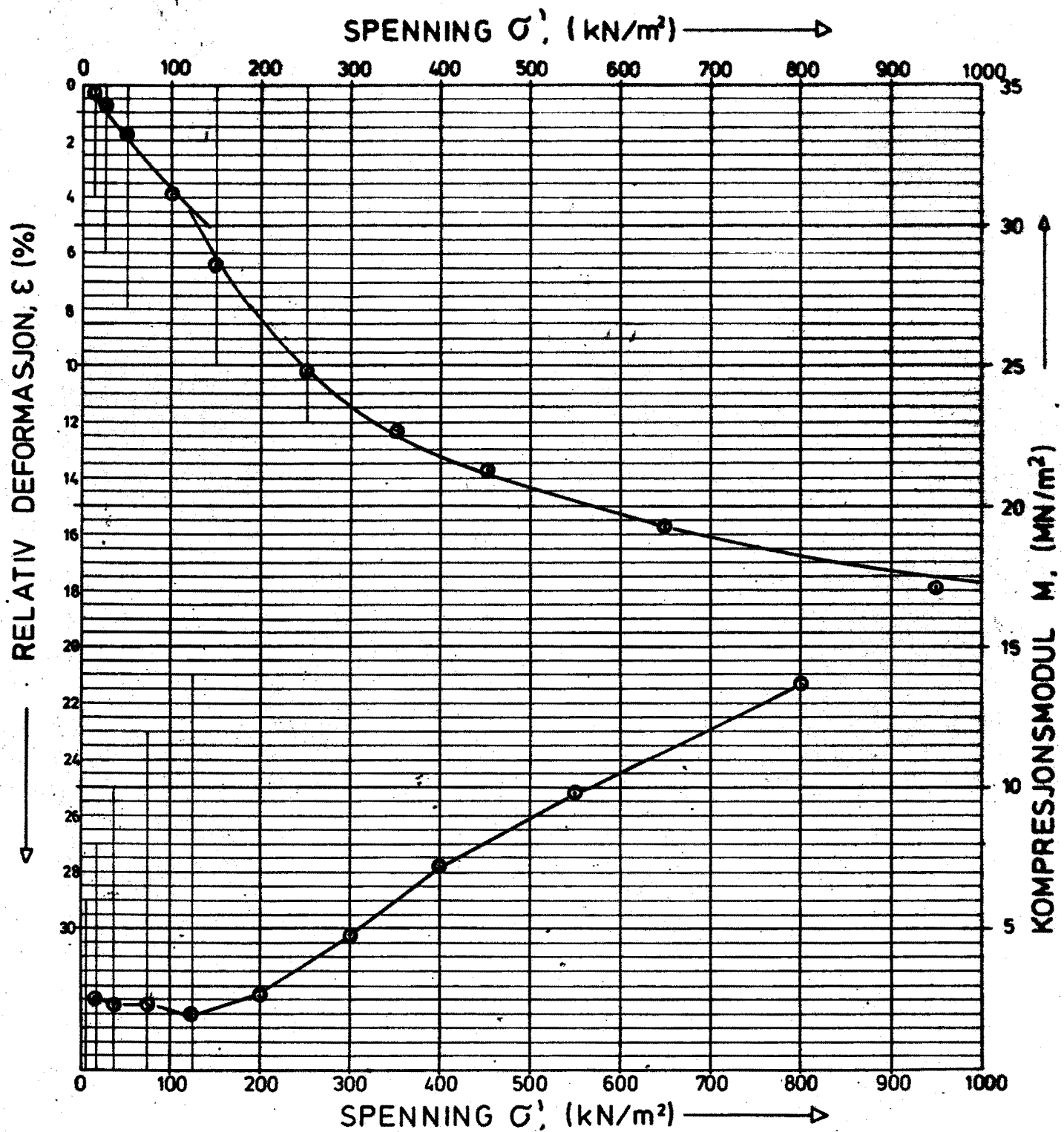
$\sigma' < p_c$: $M = 5 \frac{\text{MN}}{\text{m}^2}$

$\sigma' > p_c$: $m = 16$

SANDSTUVEIEN, BRO
Ödometertorsök hull 11.

OSLO KOMMUNE
Geoteknisk kontor

R 1768
Bilag 26
Dato



HULL NR.	LAB. NR.	DYBDE m	p'_0 (kN/m^2)	p'_c (kN/m^2)	OCR	JORDART	ANM.
11	1268-38	92-93	86	~100		Leire	

$$\sigma' < p'_c: M = 5 \text{ MN/m}^2$$

$$\sigma' > p'_c: m = 17$$

SANDSTUVEIEN. BRO

Ödometertorsök hull 11

R 1766

Bilag 27

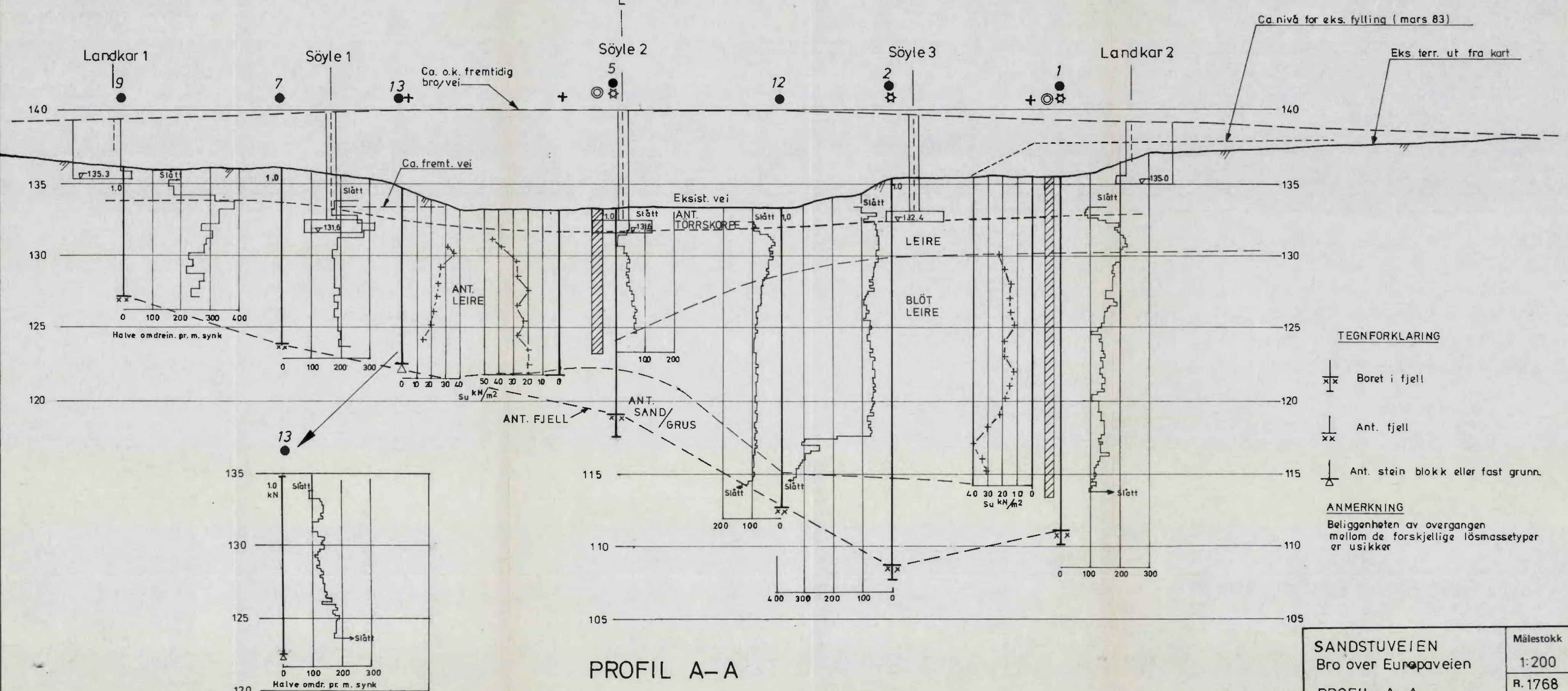
OSLO KOMMUNE

Gjeotekniske kontor

Dato

Reg. Europaveien.

C

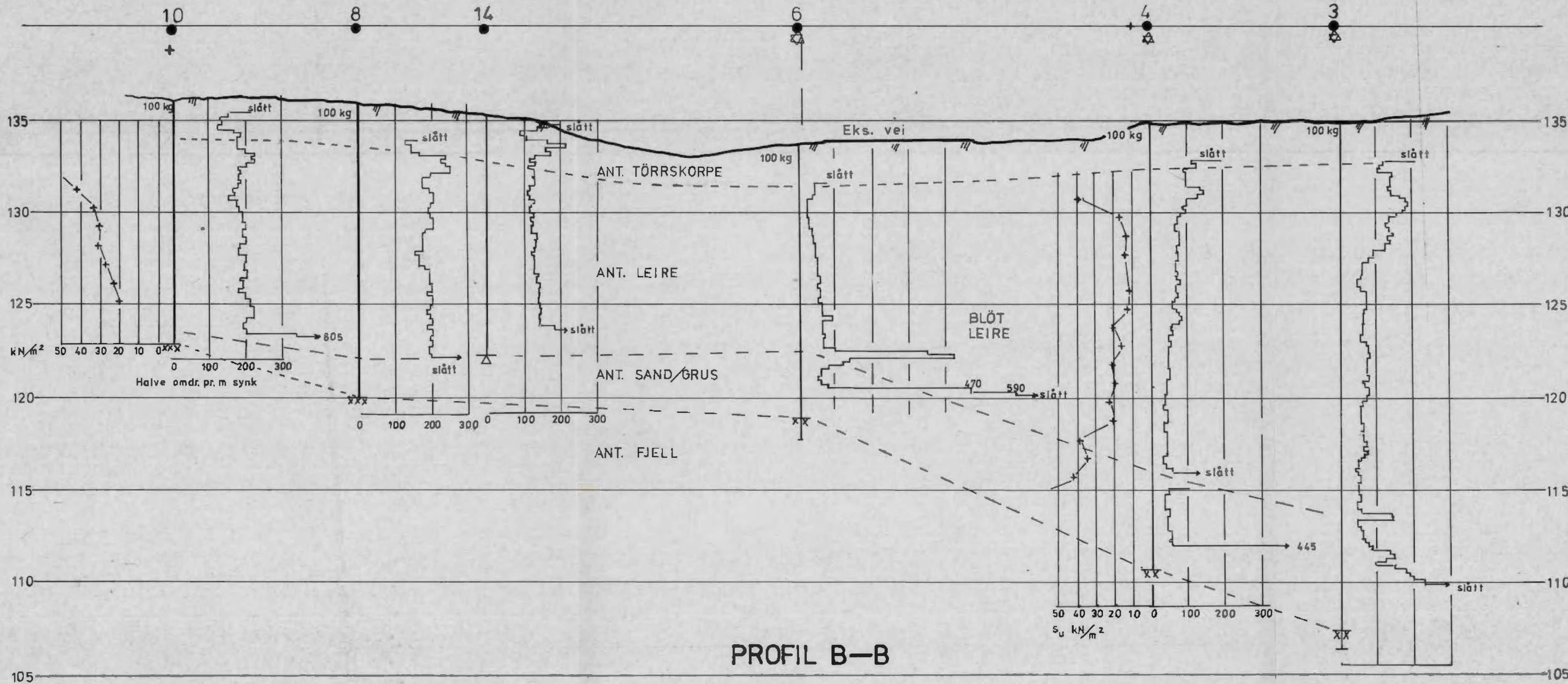


SANDSTUVEIEN
Bro over Europaveien
PROFIL A-A

Målestokk
1:200
R. 1768
Bilag 28
Kart ref.
Dato Aug 83

OSLO KOMMUNE
Geoteknisk kontor

Reg. Europaveien
C



PROFIL B-B

SANDSTUVEIEN
Bro over Europaveien

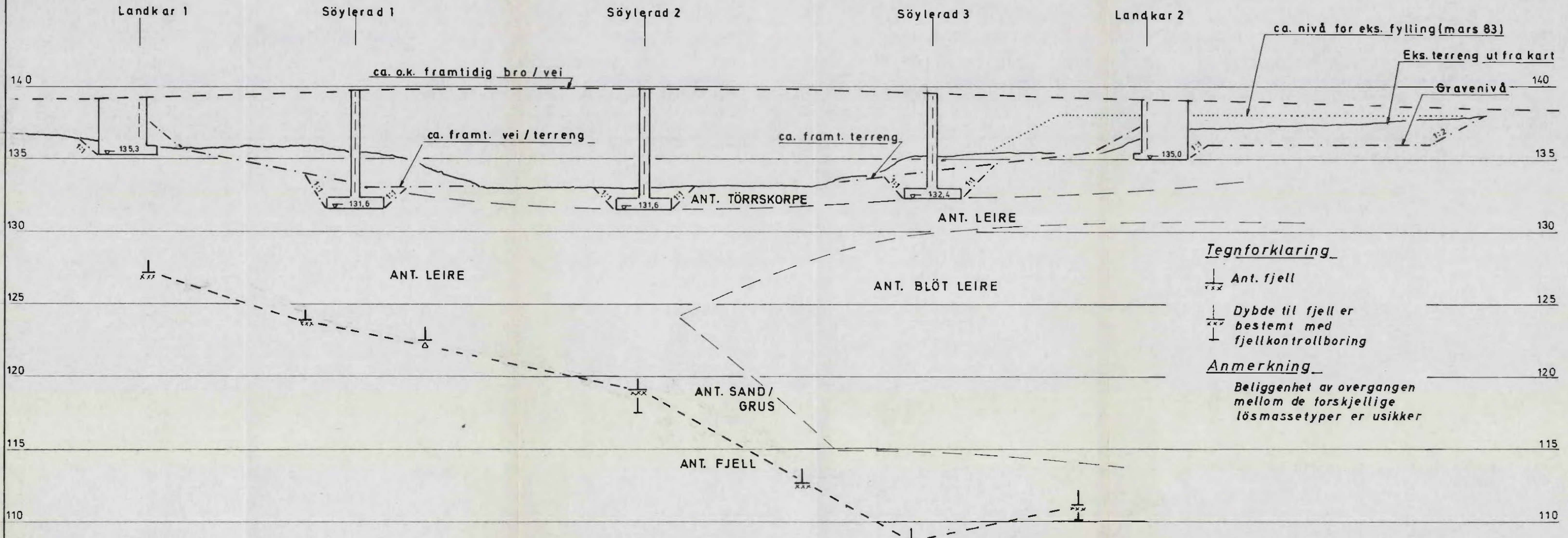
Målestokk
1:200
R-1768
Bilag 29
Kart ref.
Dato aug 83

PROFIL B-B

OSLO KOMMUNE
Geoteknisk kontor

Reg. Europaveien

C



PROFIL A-A

SANDSTUVEIEN BRO OVER EUROPAVEIEN Profil A-A med grave- skråningens helling	Målestokk 1:200 R. 1768 Bilag 30
OSLO KOMMUNE Geoteknisk kontor	Dato aug 83 Kart ref.

